

PAŃSTWOWY INSTYTUT METEOROLOGICZNY

INSTITUT MÉTÉOROLOGIQUE DE POLOGNE

W A R S Z A W A

WIADOMOŚCI
METEOROLOGICZNE

BULLETIN MÉTÉOROLOGIQUE

Wrzesień 1926 Septembre

NAKŁADEM I DRUKIEM PAŃSTWOWEGO INSTYTUTU METEOROLOGICZNEGO.

W A R S Z A W A.

NOWY ŚWIAT № 72 (PAŁAC STASZICA).

S P I S R Z E C Z Y

TABLE DES MATIÈRES

	str.
Spostrzeżenia meteorologiczne in extenso	215
Tablica temperatur średnich i skrajnych	221
Wysokości opadów w mm i liczby dni z opadem	222
Przebieg pogody, przez <i>W. Niebrzydowskiego</i>	225
Mapa opadów (izohyety)	228
Mapa rozkładu ciśnienia powietrza (izobary)	229
Mapa rozkładu temperatury (izotermy)	230
Przebieg zmian stanu wody na rzekach polskich	231
<i>Wł. Gorczyński</i> . O solarymetrach i spektrografach do pomiarów promieniowania słonecznego	233

Bibliografia.

Spis wydawnictw otrzymanych przez Bibliotekę P. I. M.	242
--	-----

	Page
Observations météorologiques in extenso	215
Table des températures moyennes et extrêmes	221
Précipitations en mm et les nombres des jours avec précipitations	222
Résumé climatologique du mois par <i>W. Niebrzydowski</i>	225
Carte des précipitations (isohyètes)	228
Carte de la distribution de la pression (isobares)	229
Carte de la distribution de la température (isothermes)	230
Changements du niveau d'eau sur les rivières de la Pologne	231
<i>Lad. Gorczyński</i> . Sur les solarigraphes et les spectro- graphes pour la mesure de la rayonnement solaire	233

Bibliographie.

Publications reçues par la Bibliothèque de l'In- stitut	242
--	-----

Dni — Jours	Barometr sprowadzony do 0° Bar. à 0° et à 450 + 700			Temperatura powietrza Température de l'air				Wilgotność bezwzględ. w mm Tension de la vapeur				względna w 0° Humidité relative				Kierunek i prędkość wiatru (m/s) Direction et force du vent.			Zachmurzenie (0—10) Nebulosité			Opad Precipit.	U W A G I		Pokr. śnieżna Couche de neige cm					
	7	1	9	Maxi- mum	Mini- mum	7	1	9	7	1	9	7	1	9	7	1	9	7	1	9	7		1	9		REMARQUES				
1	58.4	56.4	53.6	20.5	6.1	9.3	19.4	15.1	7.4	7.5	8.8	86	45	69	0	SW	5	S	3	3	3	—	—	—	—	—	—			
2	51.5	50.0	49.3	22.5	12.7	14.0	21.3	17.0	9.4	10.3	11.8	79	55	82	S	3	SSW	5	NE	1	8	4	6	—	—	—	—	—		
3	49.6	50.0	50.8	21.1	10.4	11.4	20.7	15.3	9.9	10.4	9.8	99	57	76	0	NNE	3		0	9	2	8	—	—	—	—	—			
4	53.2	52.4	52.4	22.0	8.4	10.3	20.9	14.1	7.9	11.4	10.5	85	63	88	NE	1	ENE	4		0	1	2	6	—	—	—	—	—		
5	53.2	53.4	53.5	21.8	7.9	10.3	21.8	16.2	8.3	10.3	12.1	89	53	88	0	NW	3	S	3	6	9	7	—	—	—	—	—	—		
6	52.8	51.1	49.9	21.2	15.3	16.3	20.5	17.4	12.2	13.2	14.2	88	74	96	SSW	5	SW	6	NW	3	8	10	10	6.7	—	—	—	—	—	
7	47.8	46.9	45.7	17.4	11.7	12.1	13.5	12.3	9.6	11.0	9.4	93	96	89	SSW	2	SSW	3	SSW	3	10	10	2	2.6	—	—	—	—	—	
8	43.5	43.9	46.5	15.9	10.5	11.1	15.3	11.1	9.0	9.1	7.7	92	70	78	SSW	3	WSW	5	WSW	4	10	3	1	4.0	—	—	—	—	—	
9	50.4	51.6	52.5	15.8	7.7	9.1	15.6	9.0	7.4	6.1	6.7	87	47	78	W	3	WNW	4	SSW	3	0	5	0	0.0	—	—	—	—	—	
10	52.0	51.0	50.3	16.2	6.2	8.0	15.2	11.4	7.2	7.5	8.6	90	58	86	S	2	WSW	2	WSW	1	10	9	10	0.0	—	—	—	—	—	
11	49.8	49.8	49.5	17.0	9.3	10.2	16.2	13.2	9.0	10.4	10.1	97	76	90	0	SSE	1	SSE	3	10	10	0	—	—	—	—	—	—	—	
12	48.7	47.3	44.7	24.2	11.4	13.1	23.1	20.1	11.2	13.2	13.0	100	63	74	S	3	SSW	6	SSE	5	10	10	3	—	—	—	—	—	—	
13	43.4	43.9	45.7	20.1	13.6	16.4	17.2	13.9	12.3	13.4	10.6	88	92	91	S	3	S	3	SSW	3	9	10	10	5.9	—	—	—	—	—	
14	48.7	50.2	49.2	15.7	9.4	10.3	14.4	12.1	8.1	7.5	7.9	88	61	75	SSW	3	WSW	7	S	5	2	5	10	1.8	—	—	—	—	—	
15	50.6	53.1	52.1	13.7	6.6	7.4	12.7	7.0	7.4	5.7	6.4	96	51	85	NW	7	NNW	6		0	10	2	3	7.8	—	—	—	—	—	
16	41.0	39.7	39.4	15.2	5.9	10.0	14.4	8.3	8.4	8.4	6.9	92	69	86	S	5	SW	12	SW	12	10	9	10	5.0	—	—	—	—	—	
17	39.6	45.2	51.0	11.3	7.0	8.1	11.3	8.4	7.3	8.6	7.0	91	87	86	WNW	12	NW	12	NW	5	10	9	10	9.4	—	—	—	—	—	
18	47.7	47.6	53.5	11.6	5.6	6.1	11.4	8.2	6.3	9.1	7.9	90	91	98	S	5	N	12	NW	4	10	10	10	1.5	—	—	—	—	—	
19	55.9	56.7	56.4	10.5	5.2	6.3	10.2	5.3	6.2	5.6	5.5	87	60	83	NNW	3	NNW	17	NNW	3	0	5	3	0.5	—	—	—	—	—	
20	53.5	56.1	56.1	10.0	4.8	7.4	9.5	7.2	7.5	6.2	6.6	98	70	87	N	7	NNE	8	NNE	4	9	9	8	—	—	—	—	—	—	
21	53.6	54.2	55.3	16.0	4.9	8.1	15.4	7.4	7.3	7.9	7.5	91	60	98	NE	3	ENE	5		0	0	1	0	—	—	—	—	—	—	
22	52.3	49.8	47.0	13.0	0.8	1.4	12.7	11.1	5.0	8.8	8.7	100	81	89	0	NNE	7	NNE	3	3	10	9	0.2	—	—	—	—	—	—	
23	48.1	48.6	48.2	13.0	6.7	7.0	12.4	7.1	6.7	5.8	6.7	90	54	88	E	3	SSE	3		0	9	7	7	4.0	—	—	—	—	—	
24	44.5	44.2	45.5	14.0	5.2	10.0	13.4	9.3	8.2	7.5	6.6	89	65	75	NNE	4	NNE	8	NNE	5	10	8	9	0.5	—	—	—	—	—	
25	48.4	47.8	48.4	13.4	5.2	6.2	12.5	9.4	7.1	7.3	8.3	100	68	95	0	NE	6	NE	1	10	10	5	0.0	—	—	—	—	—	—	
26	49.3	50.0	51.3	15.7	3.0	4.1	15.5	9.4	6.1	8.1	8.7	100	61	99	0	NNE	3		0	4	4	5	—	—	—	—	—	—	—	
27	53.0	53.0	52.5	16.2	3.3	4.1	16.2	11.4	6.0	7.9	8.6	98	58	86	0	SSE	3	SSE	3	2	10	2	—	—	—	—	—	—	—	
28	52.5	53.3	55.1	12.8	10.1	10.3	12.8	11.1	7.9	9.0	9.9	85	82	100	ENE	3	ESE	3		0	10	10	10	7.1	—	—	—	—	—	
29	55.0	56.0	56.8	11.3	10.4	11.0	11.3	11.3	9.0	9.6	10.3	97	100		E	2	SE	2		0	10	10	10	6.5	—	—	—	—	—	
30	59.0	60.1	62.1	12.5	9.8	10.2	12.4	11.0	9.3	10.0	8.9	100	94	92	W	2	NNE	1	NE	3	10	10	10	1.1	—	—	—	—	—	
Sr. m.	50.2	50.4	50.8	16.1	7.8	9.3	15.3	11.4	8.2	8.9	8.8	92	69	87	2.8	5.5	2.7	7.1	7.2	6.2	—	—	—	—	—	—	—	—	—	—

NOWYPORT — Wydział Morski

BUREAU MARITIME POLONNAIS

 $\varphi = 54^{\circ} 24'$ $\lambda = 18^{\circ} 40'$

H = 11.4 m

WRZESIEŃ — SEPTEMBRE 1926

1	66.2	64.5	62.6	24.3	9.5	11.6	21.8	19.5	8.1	8.6	10.3	80	44	61	SSE	3	SSW	4		0	4	9	2	—	—	—	—	
2	61.6	61.2	61.2	20.7	15.6	17.1	20.0	17.4	11.7	12.9	13.7	81	74	93		0		0		0	0	7	4	—	—	—	—	
3	61.0	61.6	62.1	20.2	12.6	16.3	18.6	12.8	11.5	9.7	9.3	83	60	86		0	NNE	2		0	10	10	10	0.1	—	—	—	
4	62.5	63.0	63.4	19.5	12.6	15.0	18.4	16.2	10.5	11.5	12.5	83	73	91		0	ENE	4		0	9	8	0	—	—	—	—	
5	64.9	64.6	64.3	24.6	13.6	14.6	23.4	18.7	11.8	11.9	14.2	95	56	88		0	WSW	4		0	10	4	0	—	—	—	—	
6	63.3	61.1	61.0	23.7	13.2	17.9	22.8	13.9	13.0	12.3	10.4	85	60	88		0	WSW	8		0	7	9	10	3.6	—	—	—	
7	59.1	58.8	57.2	18.9	12.8	13.2	16.0	14.6	10.8	10.7	9.7	96	79	78	WSW	3	WSW	4	SW	4	10	9	9	0.0	—	—	—	
8	55.9	58.0	61.1	18.2	12.7	13.6	17.7	12.7	10.4	6.9	8.4	90	46	77		W	4	WNW	12	W	6	6	4	0.0	—	—	—	
9	64.3	65.4	64.9	18.0	9.5	12.5	17.7	11.4	8.6	5.6	7.5	81	37	75		W	5	W	7	SW	2	5	3	1	—	—	—	
10	61.1	60.3	60.4	20.4	9.0	10.0	18.9	14.7	8.3	10.8	10.1	91	66	82		0		0		0	10	8	4	—	—	—	—	
11	58.7	58.9	57.8	20.8	12.8	14.3	20.0	16.8	11.2	12.7	13.2	93	73	93		0		0		0	9	9	0	0.0	—	—	—	
12	56.0	54.1	53.0	30.2	16.1	16.9	28.9	17.8	12.1	10.1	13.6	85	34	90	SSE	3	SSW	7	W	2	9	4	10	8.5	—	—	—	
13	53.6	55.1	58.4	18.7	12.0	16.1	16.0	12.2	12.5	12.7	8.3	91	93	79		0	SW	6	SW	4	9	8	1	3.0	—	—	—	
14	61.4	60.4	61.7	15.5	9.7	11.2	13.3	11.6	8.6	9.4	9.2	86	83	91	SW	4	SW	5	W	2	7	10	3	0.1	—	—	—	
15	64.9	64.5	56.0	15.8	7.7	10.3	14.3	12.8	7.7	6.7	11.0	82	56	100		W	4	W	5	S	9	6	8	10	8.7	—	—	—
16	52.6	53.6	57.8	15.1	9.5	12.9	9.5	11.4	9.4	8.6	7.0	86	98	70		SW	12	W	12	NW	20	8	9	8	3.9	—	—	—
17	62.2	65.0	65.8	14.3	8.7	9.8	13.1	10.6	6.4	6.0	7.4	70	53	77	WNW	5	NW	10		0	1	2	10	0.0	—	—	—	
18	62.4	65.1	68.8	17.9	10.1	15.7	15.4	10.1	12.7	11.8	8.6	96	90	94	WNW	7	NNW	12		0	10	2	0	0.0	—	—	—	
19	69.9	70.0	70.0	18.5	8.8	11.0	16.4	14.3	8.8	11.6	11.4	90	83	95		0	NE	2	NNW	1	10	10	7	—	—	—	—	
20	68.2	68.3	68.9	14.9	11.3	13.6	13.8	11.7	8.7	8.5	7.9	75	72	78		N	5	N	5		0	1	6	10	—	—	—	—
21	67.8	66.9	66.6	14.9	6.8	11.9	14.0	13.7	8.1	10.0	11.3	79	85	97		N	5	NNW	7	NW	2	5	2	10	0.1	—	—	—
22	64.8	63.0	61.0	14.5	11.4	11.6	14.1	12.5	9.9	10.0	9.5	98	84	89	WNW	2	NNW	2	W	2	10	10	10	0.7	—	—	—	
23	58.6	58.0	59.6	13.7	8.5	10.2	10.1	9.5	8.0	8.0	8.6	86	87	98	WSW	3		0		0	4	9	10	5.9	—	—	—	
24	60.3	59.1	58.4	14.2	8.7	12.4	14.0	13.6	7.5	11.0	10.7	70	93	93		N	4	NNW	10	NW	12	9	10	8	3.3	—	—	—
25	58.2	59.1	60.4	14.3	9.5	9.9	13.7	11.6	8.4	7.7	8.1	92	66	80		0	ENE	2	ESE	2	2	3	1	—	—	—	—	
26	60.1	59.4	60.7	12.9	4.8	6.1	12.5	10.2	6.8	7.4	8.8	97	69	95		0	SE	4		0	9	9	10	0.7	—	—	—	
27	59.8	58.1	57.5	13.8	8.9	9.4	12.5	13.1	8.8	10.5	11.2	100	98	100		0		0	SSE	2	9	10	10	0.7	—	—	—	
28	62.2	63.8	65.2	14.4	6.3	7.2	13.0	10.1	7.4	8.1	7.9	98	73	86	SSW	2	SSE	4		0	1	2	0	—	—	—	—	
29	66.1	67.4	69.1	16.0	7.0	7.4	13.3	11.0	7.4	8.6	9.3	96	76	95	WSW	1		0		0	9	10	10	—	—	—	—	
30	70.7	71.8	73.2	14.9	9.2	10.1	14.8	13.6	9.0	10.2	9.6	98	82	83		0	NE	2	NNE	4	10	10	10	—	—	—	—	
Σr. m.	62.0	62.0	62.3	17.8	10.3	12.3	16.3	13.3	9.5	9.7	10.0	88	71	87		2.4		4.7		2.5	7.0	7.1	6.1	—	—	—	—	

G R O D N O

$\varphi = 53^{\circ} 41'$ $\lambda = 23^{\circ} 50'$ $H = 119.0$ m

WRZESIEŃ — SEPTEMBRE 1926

Dni Jours	Barometr sprowadzony do 0° Bar. à 0° et à 45° + 700			Temperatura powietrza Temperature de l'air						Wilgotność bezwzględ. w nim Tension de la vapeur						Kierunek i prędkość wiatru (m/s) Direction et force du vent			Zachmurzenie (0—10) Nebulosité			Opad Precipit.	U W A G I REMARQUES	Pokr. śnieżna Couche de neige
	7	1	9	Maxi- mum	Mini- mum	7	1	9	7			7			7	1	9	7	1	9				
									7	1	9	7	1	9										
1	60.8	57.9	55.4	21.6	6.2	13.8	20.3	16.3	7.2	8.2	9.8	61	47	71	SW 2	SE 8	SE 3	4	1	10	—	☉ 1, 2	—	
2	53.2	52.0	51.0	23.6	14.2	14.9	20.9	19.3	11.2	9.8	12.6	89	53	75	0	SW 5	SW 3	7	7	6	—	☉ 2	—	
3	51.0	51.6	52.4	20.9	15.7	15.9	20.5	18.2	11.4	9.6	9.9	85	54	63	W 1	SW 2	S 1	9	8	10	0.0	☉ 1, 2	—	
4	52.7	53.4	53.8	22.6	13.6	14.9	18.7	16.4	11.5	11.5	9.5	91	71	69	NE 2	E 3	0	9	10	1	—	☉ 1, 2	—	
5	55.0	55.3	55.6	23.1	9.3	10.7	20.3	16.3	9.3	10.0	12.9	98	56	94	0	S 1	SW 1	1	5	0	—	☉ 1, 2	—	
6	55.0	53.0	52.1	24.5	14.2	17.3	24.3	19.7	13.2	12.8	12.0	90	57	70	SW 1	S 8	S 5	9	7	7	4.3	☉ 1, 2	—	
7	49.3	49.2	47.4	19.7	12.7	13.7	14.5	12.8	11.4	11.6	9.5	98	94	87	0	W 1	SW 4	10	10	10	6.9	☉ 1, 2 p	—	
8	46.0	46.9	49.0	16.6	9.4	13.3	15.5	9.6	10.3	8.6	8.2	91	65	92	SW 5	SW 10	SW 5	10	5	3	1.5	☉ 1, 2	—	
9	52.9	53.9	55.0	18.1	8.8	10.3	16.5	10.2	8.3	8.4	6.9	89	60	75	W 9	W 6	SW 1	0	5	0	—	☉ 1, 2	—	
10	53.8	52.8	52.1	15.5	7.8	10.1	14.5	12.3	8.3	7.5	9.6	89	61	91	S 2	S 4	0	10	10	0	—	☉ 1, 2	—	
11	51.1	50.8	50.2	19.1	10.2	13.1	17.5	14.3	10.7	11.0	11.9	96	74	98	0	SE 3	0	10	9	9	—	☉ 1, 2	—	
12	49.7	48.7	47.8	27.1	10.8	14.3	25.4	20.1	11.3	13.2	13.3	94	55	76	0	S 1	S 6	2	5	2	—	☉ 1, 2	—	
13	45.7	45.9	47.8	20.6	13.6	17.7	19.7	13.7	12.5	13.4	9.8	83	79	85	SW 1	SW 3	SW 3	5	10	1	—	☉ 1, 2	—	
14	52.1	52.7	52.2	16.8	9.0	10.5	16.6	11.5	8.4	6.4	8.9	90	46	88	SW 7	SW 8	SW 2	2	7	10	—	☉ 1, 2	—	
15	53.8	55.3	49.2	16.6	7.6	8.8	14.3	10.0	7.8	4.7	6.8	92	39	74	SW 3	W 7	W 4	5	5	3	5.5	☉ 1, 2	—	
16	44.1	43.9	44.4	16.6	8.8	13.3	15.6	10.2	10.8	9.3	6.9	96	70	75	SW 8	SW 6	SW 5	9	4	10	1.7	☉ 1, 2	—	
17	45.3	49.2	49.6	12.6	8.0	9.2	11.5	8.8	6.2	7.1	7.8	71	70	81	W 9	W 10	S 1	10	10	2	7.6	☉ 1, 2	—	
18	50.0	51.3	53.0	17.6	6.3	6.8	16.6	10.2	7.2	10.7	7.8	98	76	84	S 3	W 3	W 3	10	5	7	2.0	☉ 1, 2	—	
19	58.2	58.8	56.7	13.1	5.1	7.5	12.7	5.3	7.0	5.9	6.0	90	54	91	W 3	W 3	W 2	10	5	5	0.0	☉ 1, 2	—	
20	54.7	55.3	57.8	12.1	3.3	6.8	11.9	7.4	6.8	7.5	6.6	93	73	86	W 1	NW 3	NNW 1	10	5	6	—	☉ 2	—	
21	54.5	54.4	56.5	17.0	5.7	7.1	16.1	9.5	7.2	8.1	7.1	96	59	80	NW 3	NE 3	NE 1	10	7	0	—	☉ 1, 2	—	
22	54.0	51.0	49.0	15.6	1.6	4.6	14.7	9.9	6.0	7.8	7.7	96	62	84	E 1	NE 3	E 1	7	10	10	0.0	☉ 1, 2	—	
23	47.2	49.1	48.7	10.6	2.7	7.8	10.4	7.1	7.3	6.3	6.9	93	68	91	E 5	S 5	E 2	0	9	7	3.0	☉ 1, 2	—	
24	45.5	44.8	45.2	14.1	4.8	8.1	13.1	9.0	8.0	8.4	7.6	99	75	89	N 3	N 5	S 1	10	8	10	3.5	☉ 1, 2	—	
25	47.9	49.1	49.3	14.4	6.3	6.9	14.3	10.0	6.7	9.1	8.0	90	75	87	0	0	N 2	2	5	8	—	☉ 1, 2	—	
26	50.9	51.3	51.6	17.1	4.2	5.0	15.9	9.0	6.4	9.0	8.6	98	66	100	0	0	0	10	5	9	—	☉ 1, 2	—	
27	53.5	52.7	53.2	17.1	6.8	8.4	15.1	14.1	6.6	9.0	9.3	81	70	78	E 1	E 6	ENE 2	5	10	10	3.8	☉ 1, 2	—	
28	53.2	54.5	55.4	14.1	6.4	11.1	11.3	9.5	9.6	9.5	8.7	98	96	99	E 3	W 3	W 2	10	10	10	9.4	☉ 1, 2	—	
29	56.3	56.7	57.6	12.8	6.3	11.1	12.7	11.3	9.9	10.4	10.0	100	96	100	0	0	0	10	10	10	1.0	☉ 1, 2	—	
30	60.9	61.1	61.4	14.1	10.9	11.5	13.7	12.6	9.7	11.5	10.7	97	99	99	0	NNE 2	0	10	10	10	0.0	☉ 1, 2	—	
Śr. m.	51.9	52.1	52.0	17.5	8.3	10.8	16.2	12.2	8.9	9.2	9.0	91	67	84	2.4	4.1	2.0	7.2	7.2	6.2	—	—	—	

POZNAN — Uniwersytet
UNIVERSITÉ

$\varphi = 52^{\circ} 25'$ $\lambda = 16^{\circ} 56'$ $H = 89.4$ m

WRZESIEŃ — SEPTEMBRE 1926

1	59.2	57.9	56.6	26.4	8.9	10.7	25.0	14.9	8.7	9.2	11.4	92	39	90	SE 5	SE 5	SSE 2	1	1	3	—	$\Delta a \propto 3 \oplus p$	—
2	55.9	55.0	54.5	29.1	9.9	13.0	27.0	18.1	9.7	10.6	12.4	88	40	80	S 2	WSW 5	S 5	0	0	3	—	$\Delta a \propto 3$	—
3	53.7	53.2	52.8	29.9	11.7	14.0	28.0	17.6	10.4	11.5	11.7	88	41	78	SE 3	SE 5	NNE 5	1	1	3	—	$\Delta a \propto 3 \oplus a$	—
4	54.8	55.6	56.9	24.9	11.3	12.7	23.5	17.7	10.0	13.8	14.0	92	64	93	NE 3	WNW 7	NW 7	0	10	6	—	$\Delta a \propto 2 \infty 3$	—
5	58.5	58.7	58.9	27.7	15.7	16.0	24.6	19.3	12.7	12.3	14.0	93	53	84	NW 5	NW 5	W 5	10	9	2	—	$\Delta a \propto 3$	—
6	58.6	56.5	54.5	27.5	14.5	17.4	26.1	20.0	13.1	11.7	12.9	89	47	74	SSE 5	W 9	W 7	10	8	0	1.2	$\Delta a \odot 2 \infty 3$	—
7	54.1	54.5	52.5	20.3	14.5	15.7	16.4	15.0	12.7	10.0	12.4	96	72	98	W 3	W 7	NW 5	10	10	10	7.2	$\odot na 2 p 3 n \infty 3$	—
8	51.6	54.7	57.9	19.8	12.8	13.6	18.9	12.8	11.1	9.1	9.5	96	56	87	WNW 7	W 9	W 7	10	7	1	1.9	$\odot nap \odot 2 \cap p \propto 3$	—
9	60.2	60.5	59.0	19.0	8.3	9.2	17.2	13.8	8.3	7.3	9.4	96	50	80	W 5	NW 5	S 3	1	10	10	2.2	$\Delta a \odot 2 \oplus \oplus a$	—
10	55.6	55.2	54.3	22.5	12.9	13.9	20.8	17.4	11.3	12.9	14.2	96	71	96	SW 5	W 7	S 3	10	10	10	0.5	$\odot nap \mathbb{R} T p \equiv p 3$	—
11	53.1	53.3	52.2	27.5	15.6	16.4	25.4	20.6	10.7	11.6	12.8	77	49	71	WSW 7	W 7	SSW 3	10	2	0	—	—	—
12	51.1	48.8	48.3	29.6	16.8	18.0	28.3	18.3	11.6	13.3	14.4	75	47	92	S 5	SW 9	W 5	4	5	10	13.1	$\odot 1, 2 \mathbb{K} T K p \oplus a$	—
13	49.3	50.9	54.0	20.7	12.8	16.4	19.2	12.8	12.4	9.2	10.0	89	55	91	W 9	W 11	W 7	10	3	2	0.3	$\odot n p$	—
14	56.8	55.9	57.6	16.8	11.4	12.1	15.5	12.4	9.6	9.4	8.5	93	71	79	SW 5	WSW 13	W 13	10	10	1	0.3	$\odot n p$	—
15	60.0	58.7	52.8	18.3	8.1	9.6	16.1	14.4	8.6	8.9	11.5	96	65	95	W 3	SW 5	SW 3	10	9	10	7.8	$\Delta a \odot 2 \cap p \propto 3 \oplus 6 h a$	—
16	51.6	52.2	55.5	16.7	10.6	12.4	16.2	10.6	9.5	7.2	6.8	89	53	72	W 11	W 14	W 9	3	10	0	0.0	$\odot na \odot 1 a p \oplus p$	—
17	58.7	60.3	61.0	17.0	7.0	7.7	14.0	12.8	6.8	7.2	8.4	88	61	77	NW 7	NW 7	WSW 5	2	4	10	—	$\Delta a \odot 1, 2$	—
18	59.4	60.4	62.1	19.4	12.6	15.6	18.7	16.0	11.5	11.9	12.9	87	74	96	WNW 5	WNW 7	0	10	10	10	0.0	$\odot \Delta p \propto 3$	—
19	63.0	63.3	62.6	20.7	12.0	13.8	19.0	13.9	10.9	10.5	11.0	94	64	94	0	0	NNE 5	10	9	1	0.0	$\Delta a p \propto 3$	—
20	61.3	59.9	60.4	20.2	10.2	12.0	18.8	10.4	10.3	7.0	7.6	99	44	81	NE 5	NE 7	E 5	8	1	0	—	—	—
21	60.3	59.4	58.9	18.8	4.6	5.6	16.4	12.1	6.4	7.3	9.0	94	53	87	E 2	NE 5	NNW 5	0	1	2	0.0	$\Delta a p \cup p$	—
22	58.3	57.1	55.3	16.4	6.8	8.2	14.6	12.6	7.9	9.0	8.9	98	73	83	0	WNW 5	NW 5	10	10	10	—	$\Delta a \equiv 1 a \oplus p$	—
23	54.6	52.8	52.6	15.6	8.0	8.5	14.3	9.0	7.8	7.2	7.6	94	59	89	WNW 3	WNW 14	WNW 5	3	8	8	3.7	$\Delta a \odot ap \odot 1, 2 \infty 3 \oplus$	—
24	53.7	53.4	52.3	14.2	4.3	5.0	12.6	11.2	6.3	6.8	8.1	97	62	81	NW 3	NNW 7	NW 7	10	10	10	—	$\Delta a \{ 6 h \infty 22 h$	—
25	50.6	51.1	51.9	16.9	7.9	9.0	11.6	8.4	8.4	9.4	7.4	99	94	91	N 5	0	SE 7	10	10	7	—	$\equiv 1 a 2 \Delta a p$	—
26	50.8	51.1	53.0	12.7	6.4	7.4	11.2	8.8	6.5	9.0	8.3	85	92	99	SE 7	SE 5	ESE 3	10	10	10	4.5	$\Delta a \odot ap \infty 1, 2 \equiv p 3$	—
27	51.1	49.8	52.5	18.8	7.5	9.8	18.1	11.5	9.0	11.5	8.0	100	75	80	ESE 5	SE 5	SW 7	10	10	8	1.3	$\odot \equiv n 1 a$	—
28	55.4	55.9	57.3	18.8	5.6	6.0	17.7	11.7	6.1	7.3	7.7	88	49	75	E 5	E 5	ESE 3	0	1	1	—	$\Delta a \odot 2 \infty p 3$	—
29	57.8	60.1	61.5	15.6	6.2	7.3	14.0	11.2	7.3	8.2	9.2	96	69	93	N 2	NNE 3	0	10	10	10	1.0	$\Delta a \propto 1 a p 3$	—
30	63.4	64.3	64.4	12.6	9.5	9.9	11.7	11.3	8.7	9.6	9.6	96	95	97	NNE 2	N 5	NNE 5	10	10	10	3.6	$\odot n 1 a 2 p \infty 1 a 2 p 3$	—
Σr_m	56.1	56.0	56.1	20.5	10.1	11.6	18.7	13.9	9.5	9.7	10.3	92	61	86	4.5	6.6	5.0	6.8	7.0	5.6	—	—	—

WARSZAWA — St. Pomp Rzecznych

USINE DES EAUX

 $\varphi = 52^{\circ} 13'$ $\lambda = 21^{\circ} 3'$

H = 89.9 m

WRZESIEŃ — SEPTEMBRE 1926

Dni i Jours	Barometr sprawdzony do 0 ⁰ Bar. à 0 ⁰ et à 45 ⁰ + 700			Temperatura powietrza Temperature de l'air						Wilgotność bezwzględ. w mm Tension de la vapeur						Kierunek i prędkość wiatru (m/s) Direction et force du vent						Zachmurzenie (0—10) Nébulosité			Opad Précipit.	U W A G I REMARQUES	Półk. śnieżna Couche de ng. cm
	7	1	9	Maxi- mum	Mini- mum	7	1	9	7	1	9	7	1	9	7	1	9	7	1	9	7	1	9				
1	62.0	60.0	57.9	22.7	7.6	10.5	22.5	13.7	8.7	8.7	10.5	93	43	91	SE 1	SE 3	0	1	10	2	—	Δ n l a p 3 n ⊙ 1,2	—				
2	56.3	55.2	54.6	24.4	10.5	12.0	23.8	17.5	9.6	10.9	11.8	93	50	79	SW 1	SW 3	0	10	1	2	—	Δ n l a p 3 n ⊙ 1,2	—				
3	54.4	53.9	53.3	26.8	11.3	13.8	26.6	18.2	10.7	12.5	13.5	92	48	87	WSW 1	S 2	NE 1	3	2	4	—	Δ n l a ⊙ 1,2	—				
4	54.0	55.1	56.2	23.7	14.1	14.8	23.3	17.5	11.3	12.9	13.5	90	61	91	NE 3	NNE 3	ENE 1	2	0	0	—	Δ n l a p 3 n ≡ n l a ⊙ 1,2	—				
5	58.2	58.4	58.6	24.4	13.5	15.9	23.9	18.2	13.0	14.2	14.5	97	64	93	N 1	S 1	S 1	10	7	1	—	Δ ≡ n l a p 3 n ⊙ 2	—				
6	58.7	56.9	54.5	25.9	15.0	16.3	25.2	19.5	12.9	12.1	14.1	94	51	84	W 1	SW 4	SW 3	10	2	0	0.0	Δ ≡ n l a ⊙ 2	—				
7	52.9	53.3	52.7	19.7	14.3	16.5	16.9	14.4	13.5	12.8	11.1	97	90	92	WSW 3	WNW 5	W 2	10	10	10	6.0	Δ 1,2 ⊙ n a p 3 n	—				
8	50.4	52.6	56.0	17.8	12.2	14.0	16.2	12.3	11.4	10.0	8.6	96	73	82	WNW 3	W 5	W 5	10	7	0	2.2	Δ n l a T ⊙ p a p 3 n ⊙	—				
9	58.9	59.6	59.3	17.4	8.8	10.0	16.9	10.3	8.2	7.8	8.0	89	54	86	WSW 5	W 4	W 2	3	8	1	—	Δ n l a p 3 n ⊙ n l a ≡ p 3	—				
10	56.7	55.3	54.8	18.1	7.0	11.1	17.6	15.2	9.2	12.1	12.2	94	81	94	SSE 2	W 4	WSW 1	10	10	10	0.2	Δ n l a p 3 n ⊙ a ≡ p 3 n	—				
11	53.8	53.1	53.4	24.3	12.6	13.7	23.7	18.1	11.1	12.0	13.1	96	56	85	S 2	WSW 4	W 1	10	4	0	—	Δ n l a p 3 n ≡ n l a ⊙ 2	—				
12	52.8	51.3	48.9	28.7	12.5	16.2	28.3	19.3	12.4	13.1	12.4	90	46	74	SSW 2	SW 4	S 2	8	5	0	—	⊙ 1,2 Δ p 3 n	—				
13	49.0	50.9	52.8	19.7	14.0	17.2	18.8	14.1	13.4	11.8	10.5	92	73	88	SSW 2	W 5	W 2	10	10	7	—	Δ n l a 2 p 3 n ⊙ a ⊙ 1,2	—				
14	57.0	56.9	55.7	16.8	9.8	11.2	15.8	11.3	9.2	9.7	9.1	93	73	92	W 5	WSW 5	WSW 5	3	10	3	4.8	Δ n l a 2,3 ⊙ a p 3 n ⊙ 1	—				
15	59.2	59.4	54.9	16.3	8.6	9.2	15.5	12.4	7.8	6.4	8.6	91	49	80	W 4	WSW 3	S 4	7	8	9	6.4	Δ ∞ n l a ⊙ 1,2	—				
16	50.0	50.1	52.1	16.0	10.6	13.7	14.7	10.7	10.5	8.2	6.5	91	66	68	WNW 6	W 6	W 5	10	10	2	—	Δ n l a 1	—				
17	54.9	57.1	60.1	14.3	7.4	8.3	13.6	10.6	6.2	5.9	5.5	75	51	62	WNW 6	NW 6	WNW 3	3	5	2	—	⊙ 1,2	—				
18	56.5	57.3	60.5	18.1	7.6	12.7	16.7	12.9	8.9	12.1	8.6	82	85	78	W 7	WNW 7	NW 4	10	10	0	—	Δ n l a 2 p	—				
19	62.7	62.8	61.6	16.2	8.3	9.2	15.8	11.3	7.6	8.1	8.4	89	61	84	NW 5	NW 5	NW 4	9	10	3	—	Δ n l a ⊙ 1	—				
20	59.7	59.0	59.8	12.6	5.8	6.7	11.9	9.1	6.6	7.3	7.3	90	71	86	NNW 5	NE 5	NNW 4	8	8	1	—	Δ n l a ⊙ 2	—				
21	57.5	56.6	58.5	15.9	5.9	6.8	15.3	11.2	6.6	9.1	8.2	90	70	83	NW 5	NE 9	NE 3	4	9	5	—	Δ n l a Δ n l a p 3 n ⊙ 1,2	—				
22	58.0	54.8	52.6	16.7	2.0	3.0	15.9	12.0	5.7	8.4	8.6	100	62	83	S 1	NNW 6	NW 5	4	7	9	0.9	Δ ≡ n l a ⊙ 1,2	—				
23	50.1	50.9	50.7	12.9	8.8	10.5	11.8	9.0	8.9	7.8	8.0	94	76	93	NW 7	NW 4	NW 1	10	8	10	4.5	Δ n l a p Δ p Δ 2 p 3 n	—				
24	50.6	49.0	48.6	11.4	5.9	6.2	9.5	10.3	6.5	8.3	8.7	93	94	94	NW 4	N 3	NNE 4	10	10	10	14.9	Δ n l a ⊙ a 2 p 3 n	—				
25	49.4	50.9	53.1	10.7	5.8	8.4	10.4	6.0	7.8	6.6	6.7	94	70	96	NNE 3	NE 3	NNE 1	10	9	1	—	Δ n l a 2 p 3 n ≡ a p 3 n	—				
26	53.9	53.6	53.9	14.3	1.5	2.6	13.0	11.0	5.5	7.2	8.4	100	65	87	NNE 1	S 3	SSE 2	10	10	10	0.2	Δ n l a p 3 n ≡ n l a	—				
27	53.7	52.3	52.6	17.4	9.7	10.4	16.4	14.3	9.0	9.9	10.0	96	71	83	SE 2	SSE 3	0	10	10	10	3.8	Δ n l a Δ n l a p 3 n ⊙ n	—				
28	56.5	57.4	58.7	15.5	10.1	10.6	14.5	10.2	9.2	7.5	8.7	97	61	94	WNW 3	WNW 2	W 1	10	10	10	0.0	Δ n a Δ l p 3 n ⊙ 2	—				
29	58.8	59.6	61.4	13.9	8.8	10.1	13.3	12.0	7.7	8.3	8.9	83	73	86	W 3	NNW 3	0	10	10	10	1.0	Δ n l p 3 Δ 2	—				
30	61.6	62.3	64.2	14.1	10.9	11.4	13.0	13.8	9.7	10.6	11.6	97	96	99	NE 4	NE 5	NE 2	10	10	10	0.3	Δ n l a ⊙ n p Δ n l a 2 p 3 n	—				
Śr. m.	55.6	55.5	55.7	18.2	8.0	11.1	17.4	13.2	9.3	9.7	9.9	92	66	86	3.3	4.2	2.3	7.8	7.7	4.7	—	—	—				

BRZEŚĆ N/B. (MITKI)

BRZEŚĆ SUR BUG (MITKI)

 $\varphi = 52^{\circ} 2' 30''$ $\lambda = 23^{\circ} 42'$

H = 134.7 m

WRZESIEŃ — SEPTEMBRE 1926

1	58.7	57.0	54.8	21.5	5.2	11.0	20.8	13.8	9.0	10.3	10.0	93	56	86	S 1	S 7	SSW 2	0	4	9	—	Δ n l a ⊙ 1, 2	—
2	52.8	51.5	50.7	23.6	10.3	12.2	22.8	16.4	9.7	13.2	12.0	93	64	86	SSW 3	WSW 6	W 2	9	5	8	—	—	—
3	50.0	50.0	49.9	26.1	13.4	15.0	25.4	19.0	11.4	14.9	14.7	90	62	90	WSW 2	W 3	0	10	5	6	—	⊙ 2	—
4	50.1	50.2	51.5	26.4	11.8	14.4	26.0	15.6	11.7	14.6	12.5	96	59	94	E 3	W 3	NE 1	6	4	6	—	≡ Δ n ⊙ 2	—
5	53.7	54.4	54.6	23.1	10.8	12.5	22.4	16.2	10.8	12.4	12.8	100	62	94	0	NW 1	0	10	5	6	—	Δ ≡ n l a ⊙ 2	—
6	54.7	52.8	50.8	25.5	13.8	15.3	24.9	16.7	12.8	11.8	13.1	99	51	93	SSW 2	SW 7	0	10	6	0	1.0	Δ n ≡ n l ⊙ 2	—
7	48.3	48.4	48.4	19.4	15.2	17.1	16.2	15.2	13.5	13.3	12.6	93	97	98	W 5	NW 3	N 3	10	10	10	5.2	Δ n a 2 p	—
8	46.2	47.2	50.4	16.2	11.4	13.2	14.5	11.7	11.3	11.1	9.0	100	91	88	WSW 3	WNW 6	NNW 5	10	10	1	2.0	Δ n l a p	—
9	52.9	54.5	55.1	17.0	8.7	9.4	16.6	9.1	8.1	7.7	7.6	92	55	89	WNW 6	NW 8	W 3	1	7	0	—	⊙ 2	—
10	53.8	52.1	50.8	15.6	4.7	8.1	14.1	14.0	7.6	10.0	11.6	94	84	98	SSW 2	WSW 6	0	10	10	10	—	—	—
11	50.6	49.8	49.4	24.1	11.1	13.1	21.1	16.3	11.2	12.5	12.5	100	67	90	W 2	SW 7	0	10	8	0	—	≡ Δ n l a	—
12	49.8	48.6	46.4	26.8	11.2	13.8	26.2	19.0	11.2	17.2	14.3	96	68	87	S 2	SSW 7	S 3	0	1	2	—	≡ Δ n ⊙ 1	—
13	45.6	46.4	47.5	24.2	15.1	17.2	21.2	16.2	13.1	17.5	11.4	90	94	83	SSW 5	WNW 8	SW 6	10	10	8	—	—	—
14	52.2	52.9	51.7	18.5	9.7	11.0	17.1	12.9	9.0	8.1	9.3	93	56	85	WNW 4	WNW 7	SW 6	1	9	10	1.2	⊙ 2 Δ p ⊗ R nodg.	—
15	53.7	54.8	53.0	16.0	7.4	10.6	15.2	7.8	8.0	7.2	6.8	84	56	86	WNW 8	WNW 8	S 3	10	9	5	5.0	Δ n a ⊙ 2 [22h 18'	—
16	46.7	45.2	46.0	17.0	7.1	12.6	15.8	11.0	10.9	9.1	6.2	100	67	63	SW 9	WNW 9	WNW 9	10	10	6	—	⊙ 1	—
17	47.5	49.9	54.3	12.0	6.5	8.1	11.7	8.7	6.3	6.1	5.4	78	60	64	WNW 10	NW 12	NW 6	4	10	4	—	⊙ 1 a	—
18	51.2	50.4	54.4	17.8	4.0	8.4	16.0	10.8	7.1	12.4	7.7	87	91	81	W 8	NW 9	N 4	10	10	0	0.1	⊙ p	—
19	56.8	57.0	56.4	13.6	5.3	8.1	12.4	5.8	7.1	5.9	6.2	88	55	90	N 5	NNW 7	N 2	10	8	8	—	⊙ 2	—
20	53.6	53.6	54.2	11.1	4.9	5.8	10.0	7.8	6.1	7.6	6.8	88	83	86	N 5	NNE 2	NE 2	10	10	4	—	—	—
21	51.2	51.2	54.1	15.4	4.3	8.4	13.6	5.2	7.5	8.1	6.0	92	70	90	N 5	NE 6	E 1	10	9	2	0.0	⊙ a	—
22	52.3	49.0	46.4	15.4	1.7	4.0	14.6	10.2	5.8	5.9	8.9	95	48	96	NNW 3	NNW 9	N 1	8	9	10	19.6	⊙ p 3 n	—
23	45.7	46.6	47.3	10.6	6.1	6.3	9.6	7.4	7.1	7.0	7.2	99	79	94	ESE 3	SE 2	0	10	10	8	0.8	⊙ 1 a	—
24	44.3	41.9	42.9	13.3	4.0	6.4	11.6	8.3	6.7	8.4	7.7	93	84	94	NNW 4	NNE 4	N 3	10	10	9	4.4	⊙ n l a p	—
25	44.5	46.5	47.9	11.9	5.9	7.1	9.0	6.4	7.4	7.8	6.8	99	87	94	NE 4	ENE 2	0	10	10	4	0.5	⊙ n a ≡ n l a	—
26	49.6	50.4	52.1	15.0	4.0	6.4	13.5	9.3	7.2	9.4	8.3	100	82	95	W 2	NNW 1	0	10	9	8	—	≡ n l a	—
27	51.3	50.6	50.4	20.0	7.5	9.2	18.8	13.8	6.7	8.7	10.3	78	54	88	SE 4	SSE 5	SE 3	10	10	10	0.0	≡ n o n a ⊙ 1, 2	—
28	51.0	53.0	53.7	13.8	11.1	12.7	11.7	11.2	10.5	9.8	9.8	97	96	99	SW 2	N 5	N 2	10	10	10	4.9	⊙ a 2 p n ≡ n l a	—
29	53.7	55.0	56.8	14.1	11.1	11.3	13.8	12.9	10.0	11.5	11.1	100	98	100	NNE 2	0	0	10	10	10	3.6	⊗ R n a ≡ 1	—
30	56.9	58.2	59.8	16.9	12.6	13.2	16.2	12.7	11.3	12.1	10.9	100	88	100	E 7	ESE 2	NE 1	10	10	0	0.4	⊙ 1 p	—
Σr. m	51.0	51.0	51.4	18.1	8.5	10.7	16.8	12.1	9.2	10.4	9.7	94	72	89	4.0	5.4	2.3	8.3	8.3	5.8	—	—	—

Dni — Jours	Barometr sprowadzony do 00 Bar. à 00 et à 45° + 700			Temperatura powietrza Température de l'air					Wilgotność bezwzględna w mm Tension de la vapeur					Kierunek i prędkość wiatru (m/s) Direction et force du vent			Zachmurzenie (0—10) Nébulosité			Opad—Precipit.	U W A G I REMARQUES	Pokr. śnieżna Couche de ng. cm	
	7	1	9	Maxi- mum	Mini- mum	7	1	9	7	1	9	7	1	9	7	1	9	7	1				9
1	49.3	47.8	45.7	23.2	8.4	11.7	22.0	16.5	7.9	8.9	9.8	78	45	70	SSE 1	SSW 3	S 1	0	2	0	0.0	Δ 1 ⊙ 1, 2	—
2	44.7	43.9	43.3	24.7	11.4	13.1	23.6	19.5	8.5	10.8	11.5	76	50	69	SW 1	WSW 2	WSW 1	4	0	0	—	Δ 1 ⊙ 1, 2	—
3	42.5	42.1	41.3	26.7	13.0	14.4	25.1	19.7	10.6	11.0	13.2	87	47	78	SW 1	WSW 1	0	2	2	3	0.0	⊙ 1, 2	—
4	42.3	43.3	44.7	25.0	13.5	14.7	23.8	19.9	11.5	13.9	13.7	92	63	79	0	NW 1	W 1	2	0	0	0.0	Δ 1 ⊙ 1, 2	—
5	46.4	46.8	47.0	24.2	15.2	16.0	23.1	19.5	12.9	13.2	14.1	96	63	84	WNW 1	W 1	W 1	10	4	0	—	Δ ≡ 1 ⊙ 2	—
6	47.0	45.5	43.3	25.8	15.2	15.9	24.8	21.6	12.7	13.3	15.4	94	57	80	SW 1	SW 3	WSW 1	0	3	7	—	Δ 1 ⊙ 1, 2	—
7	42.0	42.5	40.8	21.6	14.6	17.1	16.4	15.0	12.7	12.9	12.1	88	93	96	W 3	W 3	W 3	10	10	10	16.8	● ap 3 n	—
8	38.6	42.3	45.6	17.3	12.0	13.2	15.6	12.5	10.8	9.8	9.3	96	75	87	NW 3	WNW 5	WNW 3	10	6	0	0.6	● n 1 a ⊙ 2	—
9	48.0	48.5	47.8	16.2	8.5	10.4	15.4	12.4	7.7	6.9	8.3	82	53	78	W 3	NW 5	W 3	2	5	0	1.2	Δ 1 ⊙ 1, 2 ● ap	—
10	44.4	44.3	43.9	20.7	10.1	12.1	18.8	17.1	9.9	11.5	11.4	95	71	79	WSW 1	W 5	NW 3	10	10	10	3.9	⊙ 1 p 3 K p	—
11	42.4	42.2	42.1	24.5	14.8	16.0	23.9	19.3	10.4	13.2	12.1	77	60	73	SW 3	W 5	SW 3	7	0	0	0.0	⊙ 2	—
12	41.3	39.2	38.3	27.2	15.5	16.0	26.8	21.4	11.5	12.9	13.9	85	49	74	SW 3	SSW 5	SW 3	2	4	3	1.0	Δ 1 ⊙ 1, 2 ● p n n	—
13	37.9	39.8	42.4	21.5	13.3	16.8	18.8	13.6	12.2	10.8	8.7	85	67	75	W 5	W 5	W 3	8	9	0	0.0	—	—
14	45.6	45.3	45.1	17.1	10.5	11.7	15.2	12.0	9.4	9.3	8.6	93	72	83	W 3	W 5	W 3	10	6	0	0.3	⊙ 2 ● n a	—
15	47.9	47.7	42.4	16.7	8.4	9.0	15.6	14.4	7.8	7.5	9.0	92	57	74	WNW 3	WNW 3	S 3	1	4	10	3.0	Δ 1 ⊙ 1, 2 ● p n	—
16	39.4	39.9	42.0	15.8	11.0	13.4	15.2	11.6	9.9	8.0	6.7	87	62	65	W 5	W 9	NW 7	8	8	10	0.0	● n	—
17	45.2	46.8	48.8	14.2	6.2	7.7	13.5	10.2	6.6	5.5	7.0	85	48	76	WNW 7	NW 9	W 3	3	2	0	0.0	Δ 1 ⊙ 1, 2	—
18	46.7	47.5	49.3	17.0	9.0	12.2	16.5	14.1	9.1	11.5	11.6	87	82	97	W 5	NW 5	NW 3	10	10	10	—	Δ 1	—
19	51.2	51.2	50.0	17.8	7.3	8.0	16.2	11.8	7.6	7.7	7.8	94	56	76	NW 1	N 1	ENE 1	0	0	2	0.0	⊙ 1, 2	—
20	46.7	47.3	47.7	12.5	7.2	8.0	11.9	8.5	7.8	6.4	7.0	98	62	86	N 3	NNE 3	NNE 3	10	10	0	0.0	Δ ≡ 1	—
21	46.3	45.3	46.3	16.7	4.5	5.0	14.5	9.8	6.3	8.2	8.0	97	66	88	NNW 1	N 3	E 3	10	2	0	—	Δ ≡ 1, 2 ⊙ 2	—
22	45.7	44.4	42.0	14.8	5.5	6.6	14.4	10.7	6.0	7.7	8.4	83	63	89	NE 1	WNW 3	NW 3	4	8	3	—	Δ 1	—
23	40.2	40.4	38.8	13.0	7.6	10.0	11.0	8.1	8.1	7.6	7.6	88	77	94	NW 5	NW 3	WNW 5	10	8	8	3.1	● ap	—
24	38.6	37.8	37.9	10.6	6.0	6.8	9.4	10.1	7.1	6.1	8.4	96	70	91	N 3	NNW 5	NNW 5	10	10	4	6.0	● p	—
25	37.3	38.9	40.7	12.5	6.6	8.7	11.5	7.1	7.9	6.6	6.7	95	65	88	NNW 3	NE 1	E 3	10	5	0	0.0	≡ 1 ⊙ 2	—
26	40.8	40.5	41.3	14.2	3.6	5.2	13.4	11.7	6.2	8.3	9.2	94	73	91	S 3	S 3	S 1	0	10	10	0.6	Δ ⊙ 1 ● p	—
27	40.4	39.4	39.9	15.7	10.0	11.8	14.8	13.3	8.9	9.9	9.9	87	80	88	SSE 3	SSE 3	W 1	10	10	10	0.3	● n ap	—
28	44.2	45.2	46.4	15.3	8.2	9.0	14.8	11.0	7.6	6.0	7.8	89	49	80	W 1	W 3	SE 1	3	7	10	—	⊙ 1, 2	—
29	46.7	47.6	48.7	15.4	8.7	10.3	14.7	11.2	7.0	6.6	8.2	75	53	83	E 1	NE 1	E 1	10	7	10	5.3	⊙ 2 ● n ap n	—
30	49.5	50.3	50.3	13.0	8.3	9.8	11.1	13.0	8.6	9.4	10.9	95	95	98	N 3	NE 3	ENE 3	10	10	10	8.4	● 1, 2, 3	—
Sr. m.	44.0	44.1	44.1	18.4	9.8	11.4	17.1	13.9	9.0	9.4	9.9	89	64	82	2.6	3.6	2.5	6.2	5.7	4.3	—	—	—

1	57.4	56.0	53.7	22.0	6.5	11.9	21.0	12.3	8.0	9.2	9.6	77	50	91	S 1	SE 3	0	0	0	0	—	⊙ 1, 2 Δ 3	—
2	52.5	51.2	50.5	24.3	10.8	12.5	23.4	15.7	8.9	9.6	11.6	83	45	87	S 2	S 2	S 1	9	0	0	—	Δ n 3 ⊙ 2	—
3	50.2	49.5	48.9	26.7	12.1	14.6	25.6	16.9	10.1	11.8	12.0	82	49	84	S 1	S 2	S 1	0	0	0	—	Δ n 3 ⊙ 1, 2	—
4	49.1	50.0	51.2	26.8	12.0	14.5	26.0	17.7	11.5	12.7	13.8	94	51	92	S 1	SW 1	0	0	1	0	—	Δ n 3 ⊙ 1, 2	—
5	53.6	54.2	54.4	25.1	13.0	14.2	23.4	18.3	11.9	12.7	14.7	99	59	94	0	0	0	10	6	5	—	Δ n 3 ≡ n 1 a	—
6	54.5	52.9	50.7	25.8	15.2	15.6	24.0	18.1	12.9	13.8	13.3	98	62	86	S 1	SW 1	SW 1	0	5	0	0.0	≡ n 1 Δ n 3 ⊙ 1, 2	—
7	48.8	48.9	48.3	20.9	15.7	18.1	17.0	15.8	13.4	13.5	12.6	87	94	94	SW 3	W 4	W 1	8	10	10	4.3	⊙ n a p 3 ⊙ 1,	—
8	46.0	48.3	51.8	17.0	11.6	14.9	15.1	11.9	12.1	10.8	9.1	96	85	89	SW 2	W 4	W 3	10	10	2	2.3	⊙ n 1 a p	—
9	54.6	55.1	55.2	17.5	8.8	10.4	17.3	8.9	8.6	7.2	8.3	92	50	98	W 3	NW 4	0	1	2	1	0.0	Δ n 3 ⊙ 1, 2	—
10	52.5	51.4	50.8	19.5	8.0	10.8	18.1	14.3	8.4	12.0	12.0	89	77	99	S 2	SW 3	W 1	10	9	10	6.3	⊙ n a p ⊤ p 3 ≡ 3 ⊙ 2	—
11	50.2	49.3	49.5	26.1	12.4	13.9	24.6	16.1	10.7	10.1	12.3	92	45	90	S 1	W 4	SW 1	10	2	0	—	⊙ K n (2h 12'a) Δ 3	—
12	49.3	47.8	45.7	27.1	13.6	16.2	26.6	20.6	11.3	13.8	13.0	82	54	72	S 2	S 3	SW 5	3	0	0	—	Δ n ⊙ 1, 2	—
13	45.2	47.3	48.6	20.6	14.2	17.4	17.9	14.3	12.2	13.4	10.9	83	88	91	SW 5	SW 3	SW 1	10	10	6	0.6	⊙ n a 2 Δ 3	—
14	52.6	52.8	52.1	17.2	11.0	11.9	16.1	12.9	9.4	9.5	8.9	91	70	81	SW 1	SW 3	W 4	3	10	10	0.3	Δ n ⊙ a p K p ⊙ 1	—
15	54.9	55.5	51.5	16.9	10.0	10.7	14.1	11.1	8.0	6.9	8.3	84	58	84	W 3	NW 2	S 2	2	4	3	3.8	Δ n 3 ⊙ 1	—
16	46.4	46.3	48.2	17.2	11.0	13.2	16.1	11.5	10.6	7.8	6.7	95	58	66	SW 5	W 8	W 7	7	9	1	—	⊙ n ⊙ 1 Δ 3	—
17	50.2	52.2	55.5	14.4	6.0	8.2	13.9	6.1	6.4	5.5	6.0	79	47	86	NW 6	NW 8	0	1	3	1	—	Δ n 3 ⊙ 1, 2	—
18	52.7	52.6	55.3	17.3	4.8	11.2	15.4	13.7	7.7	12.0	9.7	78	92	83	SW 3	W 4	W 3	10	10	1	0.0	⊙ a 2 p Δ 3	—
19	57.7	57.5	56.4	16.8	6.7	7.8	15.3	10.1	7.6	7.4	8.4	96	58	91	NW 3	N 3	NE 1	7	5	4	—	Δ n 3 ⊙ 2	—
20	54.0	53.5	54.0	11.4	5.6	5.7	10.3	8.5	6.5	6.9	7.7	96	74	93	NE 2	NE 2	N 1	9	10	7	0.2	⊙ p	—
21	51.4	51.1	53.4	14.0	5.0	6.3	9.9	5.5	6.7	8.0	6.5	94	88	97	N 2	N 3	0	10	10	0	0.0	⊙ p Δ 3	—
22	52.8	50.1	47.2	16.7	0.0	0.9	14.6	10.4	4.6	5.9	8.1	94	48	87	0	NW 2	NW 3	0	7	6	—	⊤ ≡ n 1 ⊙ 1 Δ 3	—
23	44.9	46.1	46.0	12.5	7.8	10.5	11.2	8.0	8.7	7.7	7.5	93	78	93	W 2	NW 5	NW 1	10	10	10	13.7	⊙ n a p Δ p ⊤ p	—
24	44.8	43.3	42.7	9.8	6.9	7.3	7.1	8.6	7.4	7.1	7.8	98	94	93	NW 1	NW 4	N 2	8	10	9	4.7	⊙ n a 2	—
25	44.0	45.5	48.0	11.7	4.8	7.5	10.9	4.9	7.4	7.7	6.3	96	79	98	W 1	NE 1	0	8	10	1	2.9	Δ n ⊙ a ⊙ 2 ≡ 3	—
26	49.3	49.4	49.5	15.1	1.2	2.2	13.8	11.0	5.4	7.4	8.4	100	62	87	SE 1	S 2	SE 2	10	9	10	—	≡ n 1 Δ n	—
27	49.4	48.4	48.5	20.3	10.0	11.1	20.0	14.5	8.1	9.5	9.3	83	55	76	S 3	S 5	S 3	8	2	10	4.9	⊙ 2	—
28	51.6	52.7	53.5	14.6	10.6	10.8	13.5	11.2	9.3	8.7	9.4	97	75	95	W 2	W 2	W 1	10	10	10	2.1	⊙ n 1 a	—
29	53.6	54.6	56.2	12.5	10.0	10.3	12.3	12.1	9.1	10.0	10.3	97	95	98	NE 1	SW 1	0	10	10	10	6.3	⊙ n a	—
30	56.4	57.3	58.6	15.6	11.8	12.7	15.3	13.9	10.7	11.8	11.3	98	91	96	SE 1	SE 1	E 1	10	10	10	0.0	⊙ n p ≡ 1	—
Sr. m.	51.0	51.0	51.2	18.5	9.2	11.1	17.0	12.5	9.1	9.7	9.8	91	68	89	2.0	3.0	1.5	6.5	6.5	4.6	—	—	—

Dni — Jours	Barometr sprowadzony do 0 ^o Bar. à 0 ^o et à 450 + 700			Temperatura powietrza Temperature de l'air					Wilgotność bezwzględna w mm Tension de la vapeur						Kierunek i prędkość wiatru (m/s) Direction et force du vent			Zachmurzenie (0—10) Nebulosité			Opad — Précip.	U W A G I REMARQUES	Pokr. śnieżna Couche de ng. cm
	7	1	9	Maxi- mum	Mini- mum	7	1	9	7	1	9	7	1	9	7	1	9	7	1	9			
1	57.1	56.2	54.0	20.7	7.1	10.3	19.8	9.0	8.5	7.6	8.0	92	44	93	0	S 3	0	0	2	0	—	○ 2	—
2	52.1	50.2	49.0	22.7	8.6	11.5	19.8	14.0	8.6	10.2	10.3	86	59	87	SW 3	SW 4	0	7	4	3	—	○ 2	—
3	48.1	47.9	48.5	25.1	11.9	16.0	24.3	15.4	10.7	11.7	12.2	79	52	93	0	NW 4	0	3	6	1	—	○ 1	—
4	48.4	48.5	48.8	25.5	11.4	13.2	24.9	17.6	10.9	12.2	13.0	97	53	87	0	S 4	SE 2	5	4	0	—	○ 2	—
5	50.7	51.8	52.6	22.1	11.4	14.2	18.4	12.6	12.1	13.1	10.7	100	83	99	E 2	E 3	0	10	7	0	—	≡ n	—
6	53.3	52.2	50.3	24.2	7.5	14.4	23.3	16.4	11.4	13.2	12.4	94	62	89	SE 2	SW 7	0	0	2	0	—	≡ n ○ 1, 2	—
7	47.2	45.8	46.6	25.6	13.1	15.6	24.3	14.9	12.3	14.1	12.3	93	63	98	SW 4	SW 5	0	2	4	10	3.8	○ n ○ 1, 2	—
8	44.6	44.1	47.8	16.0	11.5	12.8	15.1	11.6	10.8	12.7	9.1	98	99	89	0	W 1	W 2	10	10	1	4.8	○ a 2	—
9	50.0	51.3	52.7	17.4	8.0	10.4	16.4	9.7	8.2	6.0	7.3	88	43	83	NW 5	NW 6	0	0	3	0	—	○ 2	—
10	52.5	51.0	49.5	16.2	3.0	8.5	13.9	11.8	7.5	8.7	10.1	91	73	98	SW 3	SW 4	0	2	10	8	0.1	○ ≡ n ○ 1	—
11	48.8	49.1	48.0	20.0	11.4	13.6	16.8	14.4	11.4	12.6	11.5	99	89	95	SW 1	SW 3	0	10	7	2	3.0	○ ≡ a ○ 2	—
12	48.9	48.3	47.0	25.6	9.7	15.0	25.5	16.9	11.7	13.0	12.7	92	54	89	0	SW 4	0	0	0	0	—	—	—
13	45.9	44.8	45.8	26.1	13.4	15.2	25.5	16.8	11.5	13.7	12.3	89	57	87	0	SW 5	0	0	2	4	0.4	○ n < p ○ 2	—
14	49.1	50.3	50.9	18.2	8.6	13.5	15.9	11.4	10.7	7.3	8.7	94	55	87	W 2	NW 3	0	3	4	5	1.3	○ n < p ○ 1	—
15	49.9	51.9	51.9	14.7	4.6	11.4	12.6	5.0	8.7	7.6	6.4	87	70	98	W 4	NW 2	0	10	4	0	2.0	≡ n ○ a	—
16	45.8	43.4	43.1	18.7	2.8	9.8	15.9	13.0	8.6	10.6	6.9	95	79	62	SW 6	W 8	W 4	10	6	1	5.9	○ n 1 a ○ 2 p	—
17	43.6	44.6	49.4	13.3	6.6	9.0	10.3	10.6	6.4	6.2	7.0	74	66	73	W 5	W 7	NW 6	3	10	10	—	○ 1	—
18	47.6	46.0	49.9	15.7	5.8	6.1	9.1	10.8	6.3	8.5	8.1	90	99	84	NW 3	W 5	NW 3	10	10	6	8.2	○ n 1 a 2	—
19	52.3	52.1	52.5	11.8	5.6	8.5	10.2	5.8	6.9	5.9	5.7	84	64	84	N 6	NW 7	0	2	5	2	0.4	○ n ○ 1, 2	—
20	49.7	50.0	48.2	8.4	4.2	5.1	7.7	7.3	6.1	6.0	6.3	94	76	83	NW 2	0	NW 5	10	10	10	1.5	○ n 1 a	—
21	46.4	47.5	50.4	10.9	5.6	6.4	8.5	5.6	6.6	6.6	5.5	91	79	82	NE 3	E 14	NE 2	2	6	10	4.8	○ a n	—
22	46.9	44.0	43.9	9.1	5.0	6.4	8.4	7.2	7.0	8.0	7.3	98	98	96	0	NW 3	NE 1	10	10	10	5.5	○ 1 a 2 p	—
23	43.7	44.1	43.7	11.6	5.1	6.6	10.1	7.0	6.6	6.4	6.6	91	69	88	NE 5	NE 6	0	5	7	3	0.4	○ n	—
24	39.2	37.9	39.1	8.6	4.6	6.2	7.4	7.2	6.9	7.5	7.5	97	98	99	N 4	W 5	E 2	10	10	10	4.5	○ 1 a 2	—
25	41.8	43.1	45.1	10.1	5.1	5.8	7.8	6.8	6.8	7.6	6.8	99	96	93	W 1	0	N 2	8	10	10	1.6	○ n	—
26	46.1	47.6	49.9	15.0	6.7	8.2	13.2	8.8	8.0	8.2	8.0	99	73	95	NW 2	NW 1	0	10	6	1	—	≡ n	—
27	51.2	50.7	50.6	18.7	2.1	5.4	18.1	10.9	6.6	8.5	8.4	99	55	87	0	SE 5	S 1	0	2	0	—	≡ n ○ 2	—
28	50.0	49.8	51.6	20.0	8.9	10.0	19.0	14.2	7.5	9.1	11.5	82	56	96	SE 3	SE 6	0	5	6	10	1.0	○ n	—
29	52.0	53.0	55.0	16.6	10.7	13.0	15.7	10.9	10.6	10.6	9.7	96	80	100	SE 3	S 6	0	7	10	0	—	○ 1, 2	—
30	56.0	56.2	58.2	21.4	8.2	12.3	20.4	11.2	9.3	8.3	9.2	88	47	93	S 5	S 8	0	2	1	0	—	—	—
Śr. m.	48.6	48.4	49.1	17.7	7.4	10.5	15.9	11.2	8.8	9.4	9.1	92	70	90	2.5	4.6	1.0	5.2	5.9	3.9	—	—	—

KRAKÓW — Obser. Astronom.

 $\varphi = 50^{\circ} 04'$ $\lambda = 19^{\circ} 58'$

H = 221.0 m

WRZESIEŃ — SEPTEMBRE 1926

OBSERVATOIRE ASTRONOMIQUE

1	50.6	48.5	47.0	22.3	7.5	9.1	21.3	15.9	7.7	9.6	10.7	91	51	80	0	NNE 1	0	0	0	0	—	≡ 1 Δ 1, 3 ○ 1, 2	—
2	46.8	44.8	45.0	24.4	8.7	10.3	23.4	17.7	8.5	9.6	11.6	92	45	77	0	SE 1	WSW 1	1	1	1	—	≡ Δ 1 ○ 1, 2	—
3	44.4	43.3	43.0	25.6	11.6	12.5	24.8	19.9	9.6	11.7	13.4	90	50	78	0	SW 1	SW 1	1	1	0	—	≡ 1 Δ 1, 3 ○ 1, 2	—
4	44.0	44.3	45.5	23.9	16.6	16.9	23.3	18.9	12.4	14.4	14.8	87	68	91	SW 1	SW 4	0	10	10	8	—	Δ 1, 3	—
5	47.8	47.8	48.4	25.2	16.6	17.1	24.2	19.6	13.8	12.4	15.0	95	55	89	SW 1	WSW 1	0	10	9	9	—	≡ 1 Δ 1, 3 ○ 2	—
6	49.1	46.8	45.6	25.6	13.7	14.1	25.0	19.7	11.6	13.6	14.2	97	58	83	W 1	SSW 1	0	10	9	2	—	≡ 1 Δ 1, 3 ○ 2	—
7	44.7	43.9	43.4	23.8	15.3	16.7	20.4	19.1	11.5	14.2	13.9	81	80	85	SW 1	WSW 2	WSW 1	9	10	10	0.6	≡ 1 ○ a 2 p ○ Δ 1	—
8	41.9	44.7	47.4	21.7	14.1	19.2	16.5	14.5	12.8	12.8	10.9	77	92	90	SW 2	SW 5	WSW 2	10	10	10	4.5	○ a 2 p	—
9	49.9	49.7	49.4	18.3	10.3	11.3	17.5	13.3	8.5	7.6	9.5	85	52	85	SW 2	SW 3	0	10	10	2	0.1	○ n ○ 2	—
10	47.0	46.4	45.6	22.6	10.2	12.7	21.9	17.2	9.3	9.6	11.4	86	50	78	0	WSW 6	SW 2	10	4	1	—	○ 2 < n 22h	—
11	45.1	44.4	44.4	25.9	12.8	14.3	25.5	19.2	10.2	9.5	12.8	85	40	77	SW 1	WSW 3	WSW 2	1	1	1	—	≡ 1 Δ 1, 3 ○ 1, 2	—
12	43.6	41.1	39.7	27.8	12.6	13.7	27.4	20.6	10.7	11.5	13.1	93	42	73	0	SSE 2	0	0	4	1	—	≡ Δ 1 ○ 1, 2 Δ 3	—
13	40.5	42.0	43.9	21.9	16.1	18.8	20.5	17.0	12.1	12.0	12.1	75	67	84	W 1	SW 3	W 1	10	10	10	0.6	Δ 1 ○ a p 3 n	—
14	47.8	47.2	47.6	20.0	12.2	13.1	18.1	15.5	8.6	7.8	9.0	77	51	68	W 2	W 5	SW 3	9	8	3	—	—	—
15	50.3	48.9	45.6	20.1	11.3	12.3	18.7	14.9	8.5	7.2	9.5	80	45	75	W 1	SW 3	0	9	8	10	0.0	○ 2	—
16	42.5	42.5	44.9	18.8	13.1	15.7	14.1	13.4	10.1	11.7	8.1	76	98	71	WSW 6	WSW 3	WSW 4	10	10	10	7.0	○ 1 a	—
17	47.6	48.7	51.0	15.3	9.6	10.1	13.7	10.1	6.2	5.7	7.1	67	49	78	WSW 5	W 4	WSW 2	9	7	2	—	○ 2	—
18	49.8	49.1	50.4	21.4	7.4	10.3	20.1	17.0	8.4	10.4	11.6	90	59	81	SW 1	W 6	W 2	10	10	10	—	Δ 1	—
19	51.6	50.8	50.2	19.5	13.9	14.1	18.9	14.3	9.8	6.8	7.7	83	42	63	0	NNW 1	NNW 1	10	0	10	—	○ 2	—
20	47.6	46.6	47.7	14.8	8.3	9.2	14.3	9.7	7.5	5.3	6.8	87	44	75	WSW 1	NNW 3	N 1	8	10	10	—	≡ Δ 1	—
21	46.7	44.9	46.6	14.8	7.3	8.3	12.3	9.5	6.6	7.5	7.9	81	71	89	WSW 2	W 2	0	10	10	0	0.1	○ p	—
22	47.3	44.9	43.2	14.6	4.1	5.3	13.6	10.9	6.5	7.2	8.7	97	62	90	0	SW 2	SW 2	10	9	10	0.9	≡ 2 1 ○ n	—
23	42.0	42.5	41.3	13.1	9.1	10.8	11.5	9.5	7.6	6.6	7.4	79	65	86	WNW 4	WSW 4	WSW 2	10	10	10	0.2	○ p	—
24	40.2	39.8	38.9	11.1	7.5	7.8	9.9	9.5	6.8	6.1	7.1	86	67	80	WSW 3	WNW 4	WSW 4	9	10	10	4.4	○ p 3 n	—
25	38.5	39.5	41.2	12.6	8.4	9.3	11.5	9.5	8.0	8.3	8.3	92	82	94	W 2	SW 5	0	9	10	9	0.7	○ p	—
26	42.1	41.2	42.6	18.0	5.5	6.1	17.1	13.5	7.0	9.2	9.9	100	63	87	ENE 2	E 2	0	10	10	10	0.0	≡ 1 ○ 2	—
27	41.5	40.2	42.9	20.8	9.9	10.3	20.1	14.9	8.6	12.2	10.5	93	70	84	ENE 1	ESE 2	WSW 3	7	9	10	7.0	Δ 1 ○ 2 ○ 3 n	—
28	45.6	46.1	46.4	14.9	10.6	10.9	14.4	11.8	9.2	8.7	9.4	95	72	93	0	ENE 2	ENE 1	10	10	10	2.0	○ l a n	—
29	47.3	48.7	48.9	12.3	9.8	10.2	10.9	10.7	8.8	9.0	9.2	95	93	97	NE 1	N 2	ENE 2	10	10	10	3.5	≡ 1 a ○ 3 n	—
30	49.9	50.8	51.2	14.3	10.5	11.5	13.5	11.9	9.9	10.2	10.0	98	89	97	0	SW 2	0	10	10	10	1.1	≡ 1 a ○ p 3 n	—
Σr. m.	45.8	45.3	45.6	19.5	10.8	12.1	18.1	14.6	9.2	9.6	10.4	87	62	83	1.4	2.8	1.2	8.1	7.6	6.8	—	—	—

Dni—Jours	Barometr sprowadzony do 0° Bar. a 0° et a 45° + 700			Temperatura powietrza Température de l'air						Wilgotność bezwzględ. w mm Tension de la vapeur						Kierunek i prędkość wiatru (m/s) Direction et force du vent			Zachmurzenie (0—10) Nébulosité			Opad Precipit.	U W A G I REMARQUES	Pokr. śnieżna Couche de ng. cm					
	7	1	9	Maxi- mum	Mini- mum	7	1	9	7	1	9	7	1	9	7	1	9	7	1	9									
1	42.3	41.5	39.8	21.8	9.0	11.4	20.0	14.2	7.7	6.8	8.2	77	39	68	0	SSW	1	S	3	0	1	0	—		—				
2	38.1	36.6	36.4	23.2	10.0	11.8	21.4	15.9	7.6	9.3	9.3	74	49	69	SSW	1	SW	3	WSW	2	5	5	0	—		—			
3	35.6	35.4	34.8	25.0	12.1	13.8	23.2	17.6	8.9	8.6	11.0	75	40	73	WSW	3	WSW	3	0	1	1	0	—		—				
4	34.4	34.6	35.3	25.0	14.2	15.5	23.3	18.7	10.2	13.1	13.5	77	61	84	WSW	3	W	4	0	4	8	10	—		—				
5	37.1	38.1	39.1	22.0	15.0	15.3	20.8	18.6	12.5	10.3	11.1	96	56	69	0	NNE	4		0	10	2	0	—	—	n	—			
6	39.3	38.1	36.7	25.0	14.0	15.2	24.0	18.4	11.4	11.0	12.2	88	49	77	0	SSE	1	SSW	2	0	1	0	—			—			
7	35.2	34.0	34.0	25.5	15.0	15.8	24.9	19.0	11.6	12.9	13.0	86	55	79	SW	2	WSW	4	0	0	5	9	—	● p		—			
8	32.4	32.3	36.2	25.5	12.8	17.9	20.4	12.8	12.4	12.8	9.9	81	71	89	WSW	3	W	8	W	1	2	10	7	1.4	● chwilami		—		
9	38.6	39.3	39.6	16.8	10.0	10.6	16.0	12.0	8.7	6.9	8.1	91	51	77	W	2	W	4	0	8	7	0	—			—			
10	38.6	37.6	36.4	19.0	8.8	10.0	17.0	14.8	7.7	8.7	9.6	83	60	76	0	WSW	4	WSW	2	2	10	0	0.8	◁ ● n (10/11)		—			
11	36.2	36.0	35.8	24.8	13.1	13.4	23.4	16.7	9.6	10.2	9.9	83	47	69	0	WSW	4	SW	3	4	7	0	—			—			
12	35.8	35.2	33.7	26.2	13.8	15.3	25.0	18.4	10.1	11.4	11.1	77	48	70	SW	1	SW	3	SSW	3	0	0	0	—			—		
13	32.0	30.7	33.3	26.2	15.6	18.0	24.2	15.6	11.3	13.0	12.5	73	57	94	SSW	4	WSW	3	0	3	6	10	5.4	● p		—			
14	37.0	37.8	37.8	17.8	12.0	12.4	15.8	12.8	9.8	8.4	8.9	91	62	81	WNW	1	WNW	4	WSW	1	8	7	1	—			—		
15	39.0	39.4	38.2	15.2	10.0	10.6	14.0	11.6	8.0	7.2	7.9	83	60	77	W	4	WNW	5	0	8	9	6	—			—			
16	33.0	32.4	32.9	17.2	10.4	11.0	15.8	11.8	8.0	10.3	8.1	84	77	78	SW	4	WSW	6	WNW	2	10	6	10	4.6	● chwilami		—		
17	34.1	35.0	38.8	12.9	7.3	7.8	12.4	7.5	6.6	5.2	5.5	83	48	70	W	5	WNW	9	WNW	2	1	6	1	—			—		
18	38.2	36.0	37.8	16.9	4.5	6.4	15.2	14.0	6.4	9.4	11.0	89	73	92	WSW	3	WSW	8	WNW	4	8	10	9	0.7	● p		—		
19	39.7	39.8	39.3	14.7	7.8	8.0	12.0	9.0	6.8	6.5	6.1	85	61	71	NNW	5	NNW	4	NNW	1	1	8	8	—			—		
20	35.6	35.8	35.8	10.0	5.0	6.4	7.4	6.6	5.8	5.3	6.7	81	69	92	NNW	1	NNW	4	NNW	1	10	10	10	1.6	● n (20/21)		—		
21	32.5	32.6	35.1	10.0	4.6	6.2	9.6	5.0	6.7	6.0	5.8	94	67	88	NNW	4	NNE	5	0	10	9	1	0.4	● p			—		
22	35.0	33.3	30.6	11.2	4.0	4.2	10.6	8.6	5.9	6.3	7.2	96	66	86	W	1	WNW	5	0	10	9	10	8.0	● p n			—		
23	28.3	29.0	30.1	11.2	8.0	9.2	10.4	8.0	8.3	8.3	7.4	95	88	92	WNW	2	NW	5	W	1	10	10	10	1.9	● chwilami		—		
24	27.6	26.9	26.1	9.0	5.0	7.0	8.2	6.6	6.9	6.6	7.0	92	71	96	W	3	W	3	W	1	10	10	10	9.1	● chwil. i n (24/25)		—		
25	27.2	29.2	31.3	10.8	6.0	6.4	8.8	7.6	6.6	6.2	7.0	92	73	90	0	0	0	0	0	7	9	8	0.8	● p			—		
26	33.4	34.4	35.2	13.2	4.0	5.1	11.6	10.4	6.4	6.9	8.1	57	67	86	0	WSW	2	SW	1	10	4	6	—	—	—	a		—	
27	35.6	34.8	34.4	18.8	8.0	9.2	17.8	14.0	7.0	8.0	10.0	81	52	83	S	1	SE	5	S	4	5	7	10	2.5	● p n			—	
28	34.7	35.6	36.5	14.0	11.6	12.5	12.4	11.6	10.4	10.2	9.9	96	94	97	0	NNW	2	0	0	10	10	10	3.8	—	—	a p ● n (28, 29)		—	
29	36.5	38.0	39.2	15.9	11.0	11.8	15.4	13.4	10.1	11.5	10.9	98	88	95	0	0	0	0	0	10	10	10	—	—	—	—		—	
30	39.7	40.8	41.8	18.0	11.4	11.6	17.6	13.8	10.0	11.5	10.0	98	76	93	SE	1	SE	1	0	10	7	0	—	—	—	—		—	
Śr. m.	35.4	35.3	35.7	18.1	7.8	11.0	16.6	12.8	8.6	9.0	9.0	87	63	82	1.8	3.8	1.1	5.9	6.8	5.2	—	—	—	—	—	—	—		—

ZAKOPANE

600mm +

φ = 49° 17'

λ = 19° 58'

H = 846.4 m

WRZESIEŃ—SEPTEMBRE 1926

1	97.4	96.6	95.4	19.7	2.0	5.0	18.7	8.5	6.1	9.1	7.6	94	57	92	0	N 3	S 2	0	0	0	0.1	Δ n	—	
2	95.1	93.7	93.8	21.7	3.5	5.7	20.1	9.5	6.7	8.0	7.9	97	46	89	0	N 1	S 2	0	1	0	—	Δ n ⊙ 2	—	
3	93.0	92.2	92.2	23.5	4.6	8.5	22.0	14.5	7.8	8.8	10.1	95	45	83	0	WSW 3	S 2	0	1	2	—	Δ n ⊙ 2	—	
4	92.6	93.2	93.7	21.0	9.5	14.2	19.0	13.4	11.0	11.6	10.9	91	71	96	0	W 2	S 2	10	9	1	8.5	Δ n ⊙ p ∞ n 1 a 2 p	—	
5	95.6	95.9	96.7	21.3	9.9	11.2	20.0	12.8	9.6	12.0	10.4	97	69	94	0	NW 2	0	6	5	0	0.1	∞ n 1 a 2 p 3 ⊙ 1, 2	—	
6	96.8	95.7	94.7	22.5	8.0	10.4	21.8	11.9	9.4	12.2	9.3	100	64	91	0	W 2	SE 2	0	5	0	0.0	Δ n ∞ n 1 a 2 p ⊙ 2	—	
7	93.6	92.7	92.3	22.0	9.0	12.5	21.4	16.7	9.2	8.6	11.5	85	45	81	0	WSW 10	WSW 4	7	10	10	0.0	Δ n ⊙ 1	—	
8	91.0	91.2	95.3	19.1	8.0	15.4	16.6	8.1	11.0	9.7	7.8	85	69	98	SW 5	SW 7	W 2	10	10	7	12.4	⊙ p	—	
9	96.6	96.5	96.8	15.0	5.0	8.0	13.6	6.8	7.2	6.2	6.8	90	54	92	W 1	NW 5	E 2	10	8	0	—	⊙ 2	—	
10	94.7	94.3	93.8	19.8	5.5	9.4	17.2	11.4	7.5	7.4	6.2	86	50	61	0	SW 7	SW 2	4	2	0	—	Δ 3 ⊙ 1, 2	—	
11	93.6	92.8	93.2	23.5	4.9	7.8	22.5	10.7	6.3	7.0	7.2	80	35	75	SW 1	SW 2	SW 1	0	2	0	—	Δ n ⊙ 2	—	
12	92.6	90.9	88.8	24.2	5.5	9.2	22.6	19.8	6.4	9.6	9.2	74	47	54	0	S 5	S 7	0	4	1	—	Δ n ⊙ 2 Δ p	—	
13	89.4	90.8	91.4	19.8	10.0	12.6	14.5	11.4	9.0	11.1	9.0	83	90	90	0	SW 1	W 2	3	10	10	6.8	Δ ∞ n Δ a p ⊙ a 2 p Δ 3	—	
14	94.9	95.3	95.6	15.5	9.0	9.5	15.2	10.9	7.7	6.4	6.0	88	50	62	NW 2	NW 7	WNW 2	0	8	5	0.3	⊙ 2 [⊙ p ⊙ 1]	—	
15	97.0	96.4	93.6	15.9	6.6	7.6	14.4	8.1	9.5	5.9	6.6	84	48	81	WNW 1	WNW 7	W 1	8	5	4	—	Δ n ⊙ 1, 2 ⊙ p	—	
16	91.4	91.1	92.8	14.4	7.0	13.2	12.6	9.2	7.8	8.4	6.5	69	78	76	WSW 9	W 7	NW 5	10	10	10	1.6	● a p (w górach ✕)	—	
17	93.8	95.6	96.5	11.4	4.6	5.7	9.6	4.6	4.8	4.5	4.2	70	50	66	NW 5	NW 7	NW 1	6	3	3	—	⊙ 1, 2	—	
18	96.2	97.6	97.6	17.0	2.2	10.5	15.2	13.0	7.0	9.0	9.7	74	70	88	W 1	W 3	NW 2	10	10	10	—	—	—	
19	98.2	97.6	96.4	17.0	9.5	12.0	16.5	9.5	9.0	9.2	7.0	86	67	79	W 1	W 2	0	10	3	10	—	⊙ 2	—	
20	94.0	92.2	93.2	10.5	5.2	7.4	9.6	5.2	6.3	4.6	5.1	81	52	78	0	N 3	NNE 1	10	8	10	—	⊙ 2	—	
21	91.8	91.2	92.8	6.9	4.3	4.8	5.4	5.8	5.5	5.5	6.6	85	81	96	NNE 1	N 1	NE 2	10	10	3	7.3	● a p (w górach ✕)	—	
22	93.1	92.6	90.6	9.6	0.4	2.1	8.2	7.8	5.2	5.0	6.3	97	62	80	NE 1	NE 2	NNW 1	10	10	10	7.8	—	—	
23	89.1	89.7	87.7	8.2	5.0	6.6	7.2	5.5	6.7	5.7	5.3	92	76	78	NW 5	NW 5	NW 2	10	10	10	11.2	● n a p ⊙ 2 (w gór. ✕)	—	
24	86.1	86.7	86.7	5.7	1.4	2.0	3.9	1.8	5.1	5.6	5.2	96	92	100	NW 3	NW 5	NW 2	10	10	10	29.8	● n a p 3 (w górach ✕)	—	
25	85.7	86.3	88.1	9.4	1.8	5.1	8.8	5.8	6.0	5.9	6.0	91	70	86	NW 1	NW 2	W 1	10	10	10	2.8	● n 1 a p (w górach ✕)	—	
26	88.9	89.5	90.3	14.6	—	0.3	1.7	14.0	7.7	5.1	7.4	7.2	98	63	92	0	NW 2	NE 1	8	8	5	—	□ n ⊙ 1, 2	—
27	89.1	88.7	90.0	17.6	5.6	14.5	15.0	11.5	7.3	8.6	9.4	59	68	93	S 9	S 2	S 1	10	10	10	14.6	⊙ p 3 a (halny)	—	
28	91.2	92.3	92.4	14.4	7.0	7.1	9.2	8.0	7.2	7.6	7.7	96	89	97	0	NE 2	NE 1	10	10	10	0.3	● ≡ n	—	
29	92.9	94.2	94.4	10.4	7.9	8.2	10.2	9.0	8.0	8.0	8.2	99	87	96	NE 1	NE 1	0	10	10	10	5.3	● n p ≡ n 1 a	—	
30	95.6	95.6	96.4	18.0	8.0	9.2	15.5	12.0	8.3	10.6	10.1	97	81	97	0	E 2	0	10	10	10	0.2	≡ n 1 ● p ⊙ 1	—	
Śr. m.	93.0	93.0	93.1	16.3	5.7	8.6	14.7	9.7	7.4	8.0	7.7	87	64	85	1.6	3.7	1.8	6.7	7.1	5.7	—	—	—	

Temperatury średnie i skrajne w m. wrześniu 1926 r. w Polsce.

Températures moyennes et extrêmes en Pologne au mois de Septembre 1926.

STACJE	Temp. średn.	Max. (dn.)	Min. (dn.)	STACJE	Temp. średn.	Max. (dn.)	Min. (dn.)
Hel	13,9	25,0 (12)	6,0 (21)	Biedrusko	14,0	28,5 (3)	2,7 (21)
Puck Mor. Dyw. Lot. . .	13,1	29,0 (12)	3,2 (29)	Poznań Uniwersytet . .	14,5	29,9 (3)	4,3 (24)
Puck Dow. Portu . . .	—	—	—	Poznań-Ławica	14,4	29,0 (3)	3,3 (28)
Rozewie*)**)	13,5	20,4 (12)	7,2 (28)	Petkowo	—	—	—
Karwia*)	13,5	25,6 (12)	6,8 (29)	Antoniny	14,3	27,8 (12)	2,7 (28)
Chałupy*)	14,3	21,8 (1)	8,8 (28)	Bojanowo	—	—	—
Jastarnia*)	13,9	23,3 (12)	9,0 (29)	Zbiersk	—	—	—
Gdynia	13,5	30,4 (12)	3,2 (21)	Kalisz	14,1	28,3 (2)	3,3 (21)
Nowyport	13,8	30,2 (12)	4,8 (26)	Zduńska Wola	—	—	—
Tczew	—	—	—	Sokolniki	13,9	27,4 (12)	1,9 (21)
Kościerzyna	—	—	—	Łódź	14,1	27,2 (12)	3,6 (26)
Chojnice	13,0	28,4 (12)	3,8 (26)	Czarnocin*)	13,8	26,6 (12)	2,1 (26)
Grudziądz	14,0	29,4 (12)	2,0 (26)	Radomsko	13,6	29,0 (12)	2,7 (22)
Bydgoszcz Inst. Roln. .	14,2	28,9 (12)	2,7 (26)	Ruda Maleniecka . . .	—	—	—
Bydgoszcz Lotnisko . .	13,9	28,7 (12)	2,7 (26)	Piotrków	13,9	26,5 (12)	4,5 (22)
Trzebcz	13,6	28,7 (12)	3,8 (26)	Strzelna	—	—	—
Dźwierzno	—	—	—	Skierniewice	13,6	27,3 (3,12)	0,9 (22)
Toruń Kosz. im. Prądz.	14,1	29,0 (12)	3,6 (26)	Czersk	—	—	—
Toruń - Podgórż . . .	—	—	—	Radom	13,7	27,4 (12)	0,4 (22)
Toruń - Lotnisko . . .	13,9	29,1 (12)	3,8 (26)	Zdanów	13,7	27,8 (12)	1,5 (22)
Ostrowite	13,5	27,4 (12)	3,4 (26)	Puławy	13,3	27,1 (12,13)	0,0 (22)
Kisielnica	12,6	25,7 (12)	2,8 (20)	Sobieszyn	13,4	26,0 (12)	0,5 (26)
Płociczno	12,1	25,4 (12)	1,0 (22)	Stara Wieś	13,2	26,5 (12)	0,7 (22)
Białystok Seminarjum	13,3	25,8 (12)	2,4 (22)	Zemborzyce	12,7	26,3 (12)	—1,0 (22)
Białystok-Zwierzyniec	—	—	—	Lublin Lotn.	13,4	27,9 (4)	0,4 (26)
Siojka*)	13,0	24,7 (5)	7,3 (20)	Lublin Gimn.	—	—	—
Nierośno	—	—	—	Kijany	—	—	—
Kopciowszczyzna . . .	—	—	—	Chelm	13,2	28,2 (5)	2,1 (26)
Grodno	12,8	27,1 (12)	1,6 (22)	Domaczewo	13,2	27,3 (12)	1,9 (22)
Szejbakpole	—	—	—	Kolpin	13,1	27,0 (11,12)	1,5 (22)
Wilno Uniwersytet . . .	11,8	24,2 (12)	0,8 (22)	Sarny	12,2	26,1 (13)	1,7 (1)
Wilno-Antokol.	11,9	24,7 (12)	0,5 (22)	Dermań	—	—	—
Pohulanka	11,5	24,1 (12)	—1,0 (22)	Ostróg	—	—	—
Święciany	—	—	—	Białokrynica	12,9	27,1 (7)	0,6 (20)
Dzisna*)	11,6	22,0 (5)	5,0 (15)	Wiśniowiec	12,5	26,3 (7)	2,5 (20)
Bieniakonie	11,6	25,1 (12)	1,5 (22)	Łuck	13,2	28,0 (12)	2,5 (24)
Kozarowszczyzna . . .	10,7	22,2 (12)	0,0 (16,27)	Kiwerce	12,4	27,0 (12)	—0,1 (24)
Horodźki	11,5	23,5 (12)	1,5 (27)	Wojśławice*)	13,2	25,6 (12)	5,4 (26)
Lida	11,9	25,3 (12)	3,0 (27)	Poturzyn	—	—	—
Ślonim	12,3	24,4 (12)	3,3 (22)	Tomaszów Lubelski . .	—	—	—
Żyrowice	—	—	—	Klemensów	—	—	—
Pińsk	12,9	26,3 (13)	4,5 (20)	Cieszanów	—	—	—
Drohiczyn Poleski . . .	—	—	—	Milków*)	13,6	26,2 (12)	5,2 (26)
Mitki	12,9	26,8 (12)	1,7 (22)	Jarosław	—	—	—
Białowieża	—	—	—	Dolne*)	13,5	27,7 (12)	5,0 (22)
Bielsk	—	—	—	Przeworsk	14,4	27,3 (12)	2,6 (22)
Bielsk Podlaski**)	13,1	26,4 (4)	0,5 (22)	Mikulice	—	—	—
Siennica	13,4	27,0 (12)	3,6 (20)	Głogów*)	12,6	25,0 (12)	3,2 (26)
Grąbnik	13,2	28,4 (12)	0,6 (22)	Sędziszów	—	—	—
Bielany	14,0	28,2 (12)	2,2 (26)	Baranów	—	—	—
Warszawa-Marymont . .	13,6	27,4 (12)	2,0 (26)	Kielce Dyr. Kolei*) . .	13,3	26,0 (12)	1,9 (22)
Warszawa - Mokotów . .	13,6	28,6 (12)	1,2 (26)	Kielce Gimnazjum . . .	13,4	27,2 (12)	1,3 (22)
Warszawa St. Pomp. . .	13,7	28,7 (12)	1,5 (26)	Kielce Lotnisko	—	—	—
Rembertów	13,8	28,0 (12)	0,1 (26)	Sielec	13,9	28,4 (12)	2,2 (26)
Mory*)	13,5	26,2 (3)	2,5 (22)	Hebdom	—	—	—
Joniec	13,9	30,6 (3)	—0,3 (22)	Kraków	14,9	27,8 (12)	4,1 (22)
Poświętne	14,4	22,3 (3)	0,4 (26)	Rakowice	14,0	28,9 (12)	2,5 (22)
Opatówiec	—	—	—	Mydlniki	—	—	—
Gołębiew	13,7	28,0 (3)	2,4 (21)	Rożnica	—	—	—
Skołniki	—	—	—	Częstochowa	14,2	27,2 (12)	2,5 (22)
Błonie	13,7	27,9 (3)	2,4 (26)	Złoty Potok	14,6	30,0 (12)	1,5 (22,26)
Kościelec	14,1	27,7 (3,12)	3,1 (26)	Sosnowiec Sem.	14,8	29,5 (12)	3,5 (22)
Brześć Kujawski	14,3	29,5 (3, 12)	2,7 (26)	Wojkowice Kościelne . .	—	—	—
Stary Brześć	14,5	28,1 (12)	1,0 (26)	Olkusz	—	—	—
Włocławek	—	—	—	Chrzanów	—	—	—
Ciechocinek	14,2	29,2 (12)	1,7 (26)	Cieszyn	14,4	28,2 (6)	3,5 (21)
Dobre	14,8	28,2 (3)	2,5 (26)	Hermanice	14,5	27,4 (3)	3,2 (22)
Kruszwica	14,0	29,0 (12)	4,1 (26)	Bielsko	—	—	—
Włoszanowo*)	14,0	27,5 (3)	5,3 (28)	Istebna*)	12,2	24,8 (6)	2,8 (22)

*) Maximum i minimum według spostrzeżeń terminowych.

**) Średnia temperatura miesięczna obliczona z 29 dni.

STACJE	Temp. sredn.	Max. (dn.)	Min. (dn.)	STACJE	Temp. sredn.	Max. (dn.)	Min. (dn.)
Żywiec	13,6	27,7 (3)	1,6 (26)	Sanok *)	15,5	30,0 (12)	6,4 (22)
Pewel Mała	—	—	—	Bircza	—	—	—
Wadowice	—	—	—	Przemyśl	—	—	—
Wieliczka	14,9	28,9 (12)	2,8 (22)	Medyka *)	14,0	26,7 (12)	5,1 (22)
Bochnia	—	—	—	Wola Dobrostańska*)	12,67	25,2 (12)	4,5 (21)
Tarnów	15,3	28,5 (11,12)	3,0 (22)	Orchowice	—	—	—
Świniarsko *)	13,7	24,6 (3)	5,6 (26)	Dublany	13,0	27,0 (12)	1,5 (26)
Nowy Sącz	—	—	—	Lwów Politechnika	13,3	26,2 (12, 13)	4,0 (22,26)
Nowy Targ	—	—	—	Lwów Lotnisko	13,0	26,3 (12)	2,3 (22,26)
Poronin	9,9	23,3 (7)	1,0 (30)	Lwów ul. Zielona *)	13,1	25,2 (12)	5,1 (26)
Zakopane	10,7	24,2 (12)	—0,3 (26)	Josefsberg	—	—	—
Zazadnia	—	—	—	Nowe Siolo	—	—	—
Maniowy	—	—	—	Kropiwnik	—	—	—
Sromowce Niżne	—	—	—	Cerkowna	—	—	—
Szczawnica	—	—	—	Bolechów	—	—	—
Łomnica	—	—	—	Porohy	—	—	—
Krynica *)	12,3	21,8 (6)	5,0 (22)	Doużyniec	—	—	—
Tylicz *)	12,6	24,0 (7,8)	4,6 (1)	Kosów	14,0	28,9 (13)	3,8 (22,23)
Libusza	14,2	27,6 (6)	1,0 (22)	Kołomyja *)	13,4	27,2 (13)	4,2 (20)
Brzyszczyki *)	14,1	25,7 (12)	7,4 (17)	Zaleszczyki	14,1	30,7 (13)	2,4 (20)
Strzyżów	—	—	—	Jazłowiec *)	12,5	27,3 (12)	4,5 (21,27)
Bukowsko *)	13,2	25,0 (6)	5,0 (22)	Mielnica	—	—	—
Baligród	—	—	—	Krasne	—	—	—
Sianki *)	12,2	22,2 (12)	3,0 (21)	Tarnopol	12,9	27,7 (13)	—2,1 (22)
Łomna	—	—	—	Borsuki-Borszczówka	—	—	—

Wysokości opadów i liczby dni z opadem w m. wrześniu 1926 r.

Précipitations en mm et les nombres des jours avec précipitations au mois de Septembre 1926.

STACJE (POWIATY)	mm	Liczba dni	STACJE (POWIATY)	mm	Liczba dni	STACJE (POWIATY)	mm	Liczba dni
Dorzecze Wisły dolnej.			Warszawa-Praga (warszawski)	41,6	10	Wólka Kozodawska (grójecki)	41,4	13
Tczew (tczewski)	24,9	10	Gołędzinów	33,5	13	Kośmin (grójecki)	37,0	11
Janowo (gniewski)	46,7	17	Rembertów	33,6	12	Grójec (grójecki)	46,6	11
Skórcz (starogardzki)	64,3	14	Siennica (mińsko-maz.)	51,1	13	Garbatka (kozienicki)	65,4	11
Chojnice (chojnicki)	56,7	12	Garwolin (garwoliński)	31,2	12	Radom (radomski)	53,0	15
Klonia Wielka (tucholski)	38,2	15	Puławy (puławski)	52,4	13	Szydłowiec (konecki)	51,2	14
Różanna (bydgoski)	47,8	10	Dęblin	72,3	13	Skarżysko	51,1	15
Bydgoszcz Instn. Roln. (bydg.)	34,0	12	Gościeradów (janowski)	48,4	12	Iłża (iłżecki)	51,9	14
Bydgoszcz Lotn. (bydgoski)	30,0	12	Gułów (łukowski)	40,4	10	Solec	59,5	13
Solec (bydgoski)	32,7	10	Brzozowa (garwoliński)	60,5	14	Św. Krzyż (kielecki)	59,8	16
Toruń Kosz. Prądz. (toruński)	46,3	11	Sobleszyn	52,4	14	Denków (opatowski)	32,3	8
Toruń Dyr. Dr. Wodn. (toruński)	45,4	14	Czermierniki (lubartowski)	38,4	10	Milków (opatowski)	35,9	11
Toruń Lotnisko	42,5	12	Lublin Lotn. (lubelski)	48,4	14	Ślupia Stara	45,3	12
Trzebcz (chełmiński)	40,3	14	Zembożyce (lubelski)	60,6	16	Góloszyce	42,3	12
Chelmno	30,3	14	Wojślawice (chełmski)	71,4	13	Gierczyce	38,9	14
Grudziądz 6 p. m. (grudziądz.)	54,8	13	Orłów (krasnostawski)	56,7	15	Podole	40,5	10
Grudziądz Zarz. Wisły (grudz.)	63,2	15	Żółkiewka	55,0	16	Opatów (opatowski)	45,9	12
Jabłonowo (brodnicki)	52,0	13	Łąpiguz (zamojski)	57,2	11	Bidziny	42,2	10
Dębowa Łąka (wąbrzeski)	57,5	15	Krynice (tomaszowski)	40,7	14			
			Klemensów	47,0	8	Dorzecze Bzury.		
Dorzecze Wisły środkowej (strona prawa).			Dorzecze Wisły środkowej (strona lewa).			Trębki (gostyniński)	46,3	13
Brodnica (brodnicki)	18,8	7	Nieszawa (nieszawski)	38,4	14	Strzelce (kutnowski)	33,3	10
Lubawa (lubawski)	65,7	18	Brześć Kujawski (włocławski)	29,9	11	Gołębiew	49,2	11
Jakóbkowo	54,4	7	Łanięta (kutnowski)	39,4	12	Krośniewice (kutnowski)	39,6	10
Ostrowite (rypiński)	37,8	10	Bielany (warszawski)	33,0	11	Mieczysławów (kutnowski)	49,1	11
Strzewo (lipnowski)	18,9	10	Kaskada	31,6	12	Leśmierz (tęczyski)	44,6	13
Sierpc (sierpecki)	50,4	10	Marymont (warszawski)	30,9	13	Skotniki	46,0	10
Grodkowo (płocki)	31,5	14	Warszawa St. Pomp.	45,2	12	Mikołajów (brzeziński)	44,5	12
Opatówek	34,3	13	Warszawa St. Filtrów	38,3	13	Babsk (rawski)	32,2	7
Lelice	41,6	12	Warszawa-Mokotów	21,6	7	Skiernewice (skierniewicki)	32,1	12
Niegłosy	33,6	13	Ursynów (warszawski)	46,0	12	Studzieniec	42,2	12
						Pszczelin (błoński)	58,5	11
						Gleba (warszawski)	46,3	13
						Mory	47,1	11

*) Maximum i minimum według spostrzeżeń terminowych.

**) Średnia temperatura miesięczna obliczona z 29 dni.

STACJE (POWIATY)	mm	Liczba dni	STACJE (POWIATY)	mm	Liczba dni	STACJE (POWIATY)	mm	Liczba dni
Dorzecze Pilicy.			Olpiny (jasielski)	73,0	13	Golotczyzna (ciechanowski)	26,8	12
Sielec (grójecki)	45,9	10	Tarnów Biuro Wod. (tarnowski)	79,9	12	Klice	28,5	9
Warka	28,8	12	Tarnów Klasztor	69,6	12	Serock (pultuski)	20,7	8
Nowe Miasto (rawski)	61,3	12	Brzesko (brzeski)	55,6	13	Konary	30,3	7
Czarnocin (łódzki)	32,3	12	Żabno (dąbrowski)	56,4	12	Grabnik	43,7	11
Piotrków (piotrkowski)	31,7	8	Szczucin Zarz. rzek W. (dąbr.)	46,6	9	Rybienko	47,9	11
Łęki Szlacheckie (piotrkowski)	27,2	12	Szczucin Szkoła Pow.	35,2	10	Liw (węgrowski)	40,5	11
Końskie (konecki)	28,9	12	Majdan Kolb. (kolbuszowski)	49,1	12	Wojciechy (wys. maz.)	51,1	6
Silnica (radomski)	39,0	9	Wielopole Skrzyńskie (rop.)	34,9	12	Wysokie Maz.	60,0	1
Czarnca (włoszczowski)	32,1	10	Tylawa (krośnieński)	81,1	17	Dołubów (bielski)	56,5	12
Dorzecze Wisły górnej.			Głogów (rzeszowski)	39,4	12	Stara Wieś (siedlecki)	50,6	13
Sandomierz (sandomierski)	47,9	15	Miłocin (rzeszowski)	35,7	12	Dawidy (radzyński)	41,9	5
Przewłoka	39,4	15	Glinik Marjampolski (gorlicki)	96,2	14	Międzyrzec (radzyński)	55,6	13
Zdanów	41,8	13	Suchodół (krośnieński)	85,4	12	Zabuże (konstantynowski)	49,9	13
Kielce Gimn. (kielecki)	41,7	13	Izdebki (brzozowski)	46,7	13	Czeberaki	66,0	12
Kielce Dyr. Kolei	45,1	14	Sanok (sanocki)	93,1	13	Kobryń (kobryński)	54,0	16
Kielce Lotnisko	39,6	10	Bukowsko	93,6	11	Mitki (brzeski)	48,7	13
Ameljówka	59,9	8	Baligród (liski)	114,4	15	Kolpin	51,5	11
Snochowice (kielecki)	33,7	13	Sianki (turczański)	42,5	9	Domaczewo (brzeski)	71,9	21
Słupia (włoszczowski)	18,7	9	Czyszki (samborski)	55,7	13	Dubica	65,2	10
Jędrzejów (jędrzejowski)	33,6	12	Medyka (przemyski)	36,8	7	Biała Podlaska (białski)	54,7	17
Małogoszcz	22,7	13	Orchowice (mościcki)	37,4	15	Piesza Wola (włodawski)	74,2	13
Kwasów (stopnicki)	34,3	11	Stojańce (mościcki)	30,4	13	Sobibór	68,0	10
Sielec (pińczowski)	56,8	12	Kurniki (jaworowski)	35,0	11	Chełm (chełmski)	75,3	12
Budziszowice (pińczowski)	34,3	12	Lubaczów (lubaczowski)	47,5	9	Matcze (hrubieszowski)	71,9	15
Nasiechowice (miechowski)	16,1	6	Miłków (lubaczowski)	37,9	13	Biskupice Szlacheckie (włodz.)	68,1	16
Skrzeszowice	51,4	11	Chłopice (jarosławski)	46,9	11	Korczyn (sokalski)	62,0	11
Szczepanowice	29,7	7	Laszki	48,6	10	Wojsławice	68,5	14
Łysa Góra (będziński)	27,1	13	Przeworsk (przeworski)	47,8	12	Tomaszów Lub. (tomaszowski)	55,8	14
Ząbkowice (będziński)	20,1	13	Przeworsk Cukr. (przeworski)	37,8	11	Poturzyn	62,1	11
Czeladź	30,9	10	Kańczuga	42,5	14	Majdan Górny	36,3	7
Sosnowiec Sem.	16,4	10	Grodzisko (łańcucki)	42,5	14	Podhajce	69,5	11
Łabajów Wisła (cieszyński)	76,3	13	Łowisko (niski)	47,7	12	Lubycza (rawski)	59,8	13
Skoczów	51,9	10	Józefów (biłgorajski)	51,2	11	Żółtańce (żółkiewski)	64,3	74
Międzywiec	42,5	8	Teodorówka	59,3	12	Lwów Politechnika (lwowski)	41,0	13
Hermanice	47,6	11	Wola	44,3	11	Lwów ul. Zielona (lwowski)	56,6	13
Żywiec (żywiecki)	43,0	12	Dorzecze Narwi.			Lwów Lotnisko	44,8	14
Łodygowice (żywiecki)	60,5	9	Pultusk (pultuski)	33,0	6	Barszczowice (lwowski)	98,0	10
Korbielów	75,6	13	Ostrołęka (ostrołęcki)	51,6	10	Podhorce (złoczowski)	115,5	12
Koszarawa (żywiecki)	51,6	8	Kruszewo	48,5	12	Ręczaje (radzyński)	90,5	13
Osiek (białski)	31,6	14	Myszyniec Apt.	59,7	11	Dorzecze Odry.		
Porąbka	59,2	11	Myszyniec Nadl.	61,6	12	Zbietka (wagrowiecki)	54,0	11
Kęty	44,9	13	Kolno (kolneński)	56,1	15	Kołybki	31,0	8
Raba Wyżna (nowotarski)	50,5	11	Kisielnica	70,6	19	Włoszanowo (żniński)	39,3	13
Zakopane Muz. Tatr. (now.)	108,9	15	Boguszyce (łomżyński)	55,5	15	Kruchowo (mogilnicki)	36,5	13
Kuźnice	140,9	11	Wierzbowo	77,1	11	Kruczowo (mogilnicki)	36,1	12
Klikuszowa	101,3	11	Bożejewo	60,0	9	Janikowo (inowrocławski)	36,1	12
Białka	76,6	12	Krzyżewo (wysoko-maz.)	70,3	20	Dobre Cukr. (nieszawski)	30,0	13
Kościeliska	105,4	12	Dobki	66,8	19	Dobre	26,4	11
Budzów (makowski)	63,3	6	Bielsk (bielski)	79,1	17	Kruszwica (strzeliński)	25,3	11
Osielec	72,1	11	Ługi Borek (bielski)	78,3	13	Lenartowo	46,3	12
Wadowice (wadowicki)	33,7	11	Białystok Sem. (białostocki)	61,4	16	Kończkowo (witkowski)	30,4	6
Andrychów	38,1	10	Białystok-Zarz. Wodn.	69,3	17	Żydowo (witkowski)	33,5	5
Krzeszowice (chrzanowski)	29,1	10	Białystok-Zwierzyniec	72,0	16	Września (wrzesiński)	32,5	10
Kraków (krakowski)	32,7	11	Supraśl (białostocki)	66,7	13	Wyszków (średzki)	47,8	12
Rakowice	22,1	11	Zabiele	47,1	11	Pętkowo (średzki)	33,9	13
Wieliczka (wielicki)	33,7	14	Janów	55,9	15	Lubowice (gnieźnieński)	53,5	9
Dobczyce	46,6	11	Osowiec (białostocki)	44,6	17	Poznań Uniwersytet	48,6	14
Bochnia Zarz. dr. Wod. (boch)	59,9	13	Jedwabne	46,6	17	Bolechowo (poznański)	39,8	6
Lipnica Murowana	40,1	5	Kapice (szczuciński)	42,0	18	Ławica	38,4	14
Trzciana (bocheński)	37,0	9	Białobrzegi (augustowski)	60,5	14	Antoniny (poznański)	43,7	13
Grodkowice (bocheński)	30,2	9	Bargłów	85,4	12	Sobota	52,0	11
Kamienica (limanowski)	48,9	6	Sokolka (sokólski)	69,5	12	Biedrusko	52,7	12
Nowy Sącz (nowo-sądecki)	43,0	6	Słojka	70,1	21	Golecin	40,3	14
Świniarsko	56,9	12	Podzyliny (suwalski)	54,3	13	Szamotuły (szamotulski)	55,5	11
Tylicz	65,6	15	Dorzecze Bugu.			Sękowo	49,5	9
Krynica	82,6	12	Nowe Miasto (płoński)	33,2	12	Białcz (śmigieński)	55,5	9
Łabowa	108,7	14	Poświętne	16,4	9	Kościan (kościański)	43,2	13
Barcice	53,5	11	Joniec	31,8	13	Kórnik (śremski)	38,7	12
Gródek (grybowski)	75,5	14	Mława (mławski)	27,2	9	Wyduły (gostyński)	49,0	11
Jasło (jasielski)	66,5	13				Rogożewo (rawicki)	48,8	7
Brzyszczy (jasielski)	70,0	12				Czarnysad (koźmiński)	58,5	10
						Baranów (pleszewski)	39,5	12
						Jabłonka (słupecki)	30,0	11

STACJE (POWIATY)	mm	Liczba dni	STACJE (POWIATY)	mm	Liczba dni	STACJE (POWIATY)	mm	Liczba dni
Popielewo (ślupecki)	28,8	11	Milowanie (tłumacki)	61,8	9	Królewszczyna (dziśnieński) .	44,0	17
Kazimierz "	37,1	9	Zaleszczyki (zaleszczycki) . .	14,1	5	Puszcza Różańska (kosowski) .	94,8	20
Kawnice (koniński)	27,2	11	Czortków (czortkowski) . . .	41,8	9	Godlewszczyna (baranow.) . .	69,5	16
Ślesin (koniński)	38,3	16	Trembowła (trembowelski) . .	52,0	13			
Kościelec (kołski)	37,2	12	Krasne (skałacki)	42,4	12			
Sucha Dolna (łęczycki)	55,2	13	Tarnopol (tarnopolski)	74,9	13			
Błonie (łęczycki)	36,9	9	Cebrów "	60,2	10			
Zdrójki (turecki)	43,0	13	Założce (zborowski)	78,6	12			
Popów "	56,3	13	Brzeżany (brzeżański)	50,2	12			
Kalisz (kaliski)	41,9	13	Rohatyn (rohatyński)	58,8	13			
Kozminek "	60,9	12	Tarnopol K-da Garn. (tarnop.) .	69,0	13			
Stawiszyn "	62,6	14						
Godziesze Wielkie (kaliski) . .	39,7	8						
Złotniki Wielkie (kaliski) . . .	53,0	9						
Zbiersk "	36,1	11						
Gostyczyna (ostrowski)	46,1	14						
Gorzyce Wielkie (odolanow.) . .	32,9	5						
Biskupice (ostrzeszowski) . . .	35,0	10						
Sokolniki (wieluński)	28,7	14						
Dziadaki (wieluński)	33,0	7						
Cisowa "	23,0	10						
Brząszewice (sieradzki)	34,3	10						
Wola Łobudzka (sieradzki) . . .	54,8	9						
Łódź (łódzki)	50,5	13						
Piorunów (łaski)	53,7	9						
Mogilno (łaski)	54,5	9						
Sędziejowice "	29,3	7						
Szczerców (łaski)	28,4	10						
Bujny (piotrkowski)	21,3	5						
Radomsko (radomskowski) . . .	29,8	8						
Dobryszyce "	28,8	9						
Częstochowa Gimn. (częstoch.) .	40,0	15						
Częstochowa Wieluńska " . . .	32,6	12						
Małusy Wielkie "	26,8	5						
Kościelec "	18,6	13						
Złoty Potok "	25,1	4						
Zagórze "	21,8	10						
Turów "	39,9	12						
Dąbrowa (lubliniecki)	22,5	9						
Zawiercie (będiński)	28,5	14						
Rybniak (rybnicki)	21,2	10						
Cieszyn Gimn. (cieszyński) . . .	50,2	14						
Istebna "	76,9	12						

Przebieg pogody w m. wrześniu 1926 r.

Résumé climatologique du mois de Septembre 1926.

W miesiącu wrześniu Polska znajdowała się przeważnie w obszarach wysokiego ciśnienia lub siodłowskich barometrycznych; gdy zaś była ona w obszarach depresyj lub depresje do niej się zbliżały były one słabe i nikłe. Taki stan rzeczy odbił się na wartościach średnich miesięcznych: ciśnienie powietrzaw kraju; jak widać z przytoczonej poniżej tablicy, było ono powyżej normalnego, przyczem największe odchylenia od normy notowano na południu.

	1851-1900	1926	Różnica		1851-1900	1926	Różnica
Wilno . . .	62.3	62.8	+ 0.5	Warszawa .	62.7	63.8	+ 1.1
Nowyport .	61.6	63.1	+ 1.5	Kraków . .	63.7	65.4	+ 1.7
Poznań . .	62.6	64.1	+ 1.5	Lwów . . .	63.6	65.3	+ 1.7

Mniej lub więcej znacznemu wpływowi depresyj kraj podlegał w dniach: 7 — 8 września, kiedy na północy Europy przesuwiała się dość głęboka depresja, a na południowym jej obwodzie tworzyły się nikłe wiry drugorzędne, które spowodowały falistość izobary 760 mm i pomimo stosunkowo wysokiego ciśnienia w kraju spowodowały duże opady i burze. W dniach 12 — 14 września, kiedy przy dość głębokiej depresji na oceanie Lodowatym, przez Skandynawię i morze Bałtyckie przeszły słabe wiry drugorzędne, które dotknęły Niemiec i Polski i znów spowodowały duże opady i burze i 15 — 16-go września również przy depresji na północy Europy przez Skandynawję przeszła z Atlantyku dość głęboka depresja drugo0 rzędna, która w dniu 16-ym września znacznie pogłębiła się u wysp Alandskich i spowodowała w kraju gwałtowne wiatry 16-go i 17-go. Trzy razy nawiedziły Polskę depresje i w ostatniej dekadzie miesiąca. Bardzo słaba depresja z ciśnieniem powietrza nieco niższem od 760 mm, która utworzyła się 22-go w południowej części Skandynawji razem z depresją południową, z początku również słabą, utworzyła wspólny dość rozległy obszar niskiego ciśnienia, który spowodował w kraju duże opady a miejscami silne wiatry i burze w dniu 23-go września. Powtórnie w tej dekadzie uległ kraj 27.IX nowej słabej depresji (755— 76 mm), która nadeszła z oceanu Atlantyckiego w towarzystwie nikłych wirów drugorzędnych do morza Niemieckiego i południowej części Bałtyku. Po raz trzeci już w końcu miesiąca z morza Śródziemnego nadeszła do Polski jeszcze jedna płytka depresja, która spowodowała miejscami w kraju burze i znaczne opady, aczkolwiek szybko się wypełniła (760 — 770 mm).

Krańcowe ciśnienia powietrza w kraju są przedstawione w poniżej przytoczonej tablicy,

	Max.	W dniu	Min.	W dniu		Max.	W dniu	Min.	W dniu
Wilno	74.7	30 IX 9 ^h p	51.7	23 IX { ^{1h} p 9 ^h p	Łódź	71.3	19 IX 7 ^h a	56.9	25 IX 7 ^h a
Nowyport . . .	74.2	30 „ 9 ^h p	53.6	16 „ 7 ^h a	Puławy	72.0	30 „ 9 ^h p	56.0	24 „ 9 ^h p
Grodno	72.2	30 „ 9 ^h p	54.5	16 „ 1 ^h p	Sarny Poleskie .	72.8	30 „ 9 ^h p	52.3	24 „ 1 ^h p
Poznań	72.7	30 „ 9 ^h p	56.2	16 „ 9 ^h p	Kraków	71.7	19 „ 7 ^h a	58.5	25 „ 7 ^h a
Warszawa . . .	72.4	30 „ 9 ^h p	56.8	12 „ { ^{9h} p 24 „ { ^{9h} p	Lwów	72.6	1 „ 7 ^h a	56.2	24 „ 9 ^h p
Brześć	72.1	30 „ 9 ^h p	53.9	24 „ 1 ^h p	Zakopane . . .	74.7	19 „ 7 ^h a	59.7	25 „ 7 ^h a

Temperatura. Temperatura utrzymywała się w miesiącu wrześniu przeważnie powyżej normalnej i tylko miejscami na północy i w środku kraju była normalną lub nieco niższą od normalnej.

W dniach 3 i 12 września termometr maksymalny na niektórych stacjach podniósł się do 30° C. i wyżej (Zbiersk 31°5), przyczem trzeba zaznaczyć, że dzień 12 września był najcieplejszym dniem miesiąca. Z drugiej zaś strony 22-go września minimalny termometr wskazywał już temperatury poniżej 5°, w niektórych zaś miejscowościach notowano przymrozki. (Joniec — 0°3, Tarnopol — 2°1, Zemborzyce — 1°0, Pohulanka — 1°0 i t. d.)

	1886— 1910	1926	Róż- nica		1886— 1910	1926	Róż- nica
Wilno	12.3	11.8	— 0.5	Poznań	13.6	14.5	+ 0.9
Białystok	12.7	13.3	+ 0.6	Kalisz	13.7	14.1	+ 0.4
Brześć	13.3	12.9	— 0.4	Cieszyn	13.8	14.4	+ 0.6
Lwów	13.6	13.3	— 0.3	Istebna	11.3	12.2	+ 0.9
Warszawa	13.4	13.7	+ 0.3	Kraków	13.7	14.9	+ 1.2
Piotrków	13.2	13.9	+ 0.7	Wieliczka	13.4	14.9	+ 1.5
Puławy	13.5	13.3	— 0.2	Żywiec	13.1	13.6	+ 0.5
Radom	13.8	13.7	— 0.1	Zakopane	10.2	10.7	+ 0.5
Lublin	13.1	13.4	+ 0.3	Tarnów	14.5	15.3	+ 0.8
Hel	14.0	13.9	— 0.1	Krynica	11.4	12.3	+ 0.9
Chojnice	12.3	13.1	+ 0.8	Bochnia	14.1	—	—
Bydgoszcz	13.2	14.2	+ 1.0				

Wiatr. W dwóch następujących tablicach podany jest rozkład kierunków wiatru i średnia jego szybkość na niektórych stacjach.

	N	NNE	NE	ENE	E	ESE	SE	SSE	S	SSW	SW	WSW	W	WNW	NW	NNW	Cisza
Wilno . . .	2	10	6	3	2	1	1	6	10	10	4	5	2	2	6	4	16
Nowyport .	4	2	2	2	0	1	1	4	1	3	7	6	10	4	4	5	34
Poznań . .	3	5	4	0	4	3	8	2	5	1	6	4	19	8	10	2	6
Warszawa .	2	5	9	1	0	0	3	3	8	2	5	8	17	8	11	4	4
Sarny . . .	3	—	5	—	4	—	6	—	6	—	12	—	11	—	14	—	29
Kraków . .	2	1	1	5	1	1	1	1	0	1	20	20	11	2	0	3	20
Lwów . . .	0	2	0	0	0	0	3	1	3	5	7	15	12	9	1	8	24
Zakopane .	4	2	8	0	2	0	1	0	9	0	8	4	12	3	18	1	18

Silne wiatry notowano w dniach 8—9, 12, 14—19 i 23-go września; największe rozpowszechnienie w kraju miały one w dniu 16-go września, podczas przesuwania się dość głębokiej depresji drugorzędnej z Atlantyku przez południową część Skandynawji do Rosji środkowej.

	7 h _a	1 h _p	9 h _p		7 h _a	1 h _p	9 h _p
Wilno	2.8	5.5	2.7	Sarny	2.5	4.6	1.0
Nowyport	2.4	4.7	2.5	Kraków	1.4	2.8	1.2
Poznań	4.5	6.6	5.0	Lwów	1.8	3.8	1.1
Warszawa	3.3	4.2	2.3	Zakopane	1.6	3.7	1.8

Opady. Największe sumy opadów w miesiącu wrześniu notowano na południu w okolicach górskich, gdzie przekraczały one 100 mm. Następne miejsce zajmują dorzecza górnego Bugu i Dżisny, w których opady były większe od 80 mm. Na wschodzie kraju (dorzecze Horynia), w środku kraju (dorzecze Bugu i dolnego Wieprza), na północnym wschodzie i na północy sumy opadów przekraczały 60 mm.

Najmniejsze opady notowano na południowym zachodzie kraju (dorzecze górnej Warty i górnej Pilicy), oraz w dorzeczu Dniestru, na granicy z Rumunią, gdzie sumy miesięczne były mniejsze od 20 mm, dalej na zachodzie Polski, między Notecią a Wisłą i w dorzeczu Wisły, gdzie sumy były mniejsze od 30 mm.

W stosunku do wartości normalnych opady wrześniowe były w większej części Polski większe; odchylenia dodatnie były notowane na południu, w okolicach górskich, gdzie w dorzeczu górnego Sanu przekraczały one 40 mm, w dorzeczach prawych dopływów górnego Bugu, gdzie odchylenia dodatnie również przekraczały 40 mm; następne miejsce zajmuje obszar na północy, między Narwią i Niemnem, gdzie odchylenia były większe od 20 mm. Nieco wyższe od normalnych lub normalne opady były na wschodzie, miejscami w środku kraju i na zachodzie, w pasie, leżącym wzdłuż linii Pińsk—Brześć—Lublin — Warszawa — Łódź — Poznań.

W pozostałych częściach Polski opady były niższe od normalnych, przyczem największe odchylenia ujemne notowano na niewielkim obszarze na południowym zachodzie kraju, gdzie przekraczały one 40 mm, na południu kraju, za wyjątkiem okolic górskich, i w dorzeczu Wkry (20 — 30 mm)

Porównywując średnie sumy opadów za wrzesień ze średnimi opadami wieloletnimi, obliczonymi z okresu 1891 — 1910 dla różnych dorzeczy Polski otrzymujemy następujące odchylenia:

Dorzecze	Norma wrzes.	Wrzesień 1926	Różnica	Dorzecze	Norma wrzes.	Wrzesień 1926	Różnica
Wisła dolna . . .	42	47	+ 5	Bug	45	54	+ 9
Wisła środkowa .	41	43	+ 2	Odra z Wartą .	44	40	— 4
Wisła górna . . .	66	49	— 17	Dniestr	58	60	+ 2
San	59	54	— 5	Niemen	45	63	+ 18
Narew	38	62	+ 24	Dniepr	44	58	+ 14

Aczkolwiek ciśnienie powietrza we wrześniu było wyższe od normalnego i Polska znajdowała się w ciągu pierwszych dwóch dekad miesiąca w obszarze wysokiego ciśnienia, jednakże niejednokrotnie zdarzały się dni i nawet całe okresy, kiedy opady były dość znaczne, przekraczając 10 mm na dobę. Takie opady notowane były w dniach 4 — 8, 10, 12 — 16, 22 — 25, 27, 30. Najwięcej pod tym względem zwraca na siebie uwagę okres 22 — 24 września. Nie notowano zupełnie takich opadów na naszej sieci tylko w dniach 1 — 3, 9, 11 i 18 września.

Burze. Elektryczna działalność atmosfery w miesiącu wrześniu znacznie się zmniejszyła: burze były notowane tylko w dniach 4, 8 — 14, 16, 23 — 24 i 29 — 30 września, przyczem największe rozpowszechnienie w kraju miały one w dniach 10, 12 — 14 września.

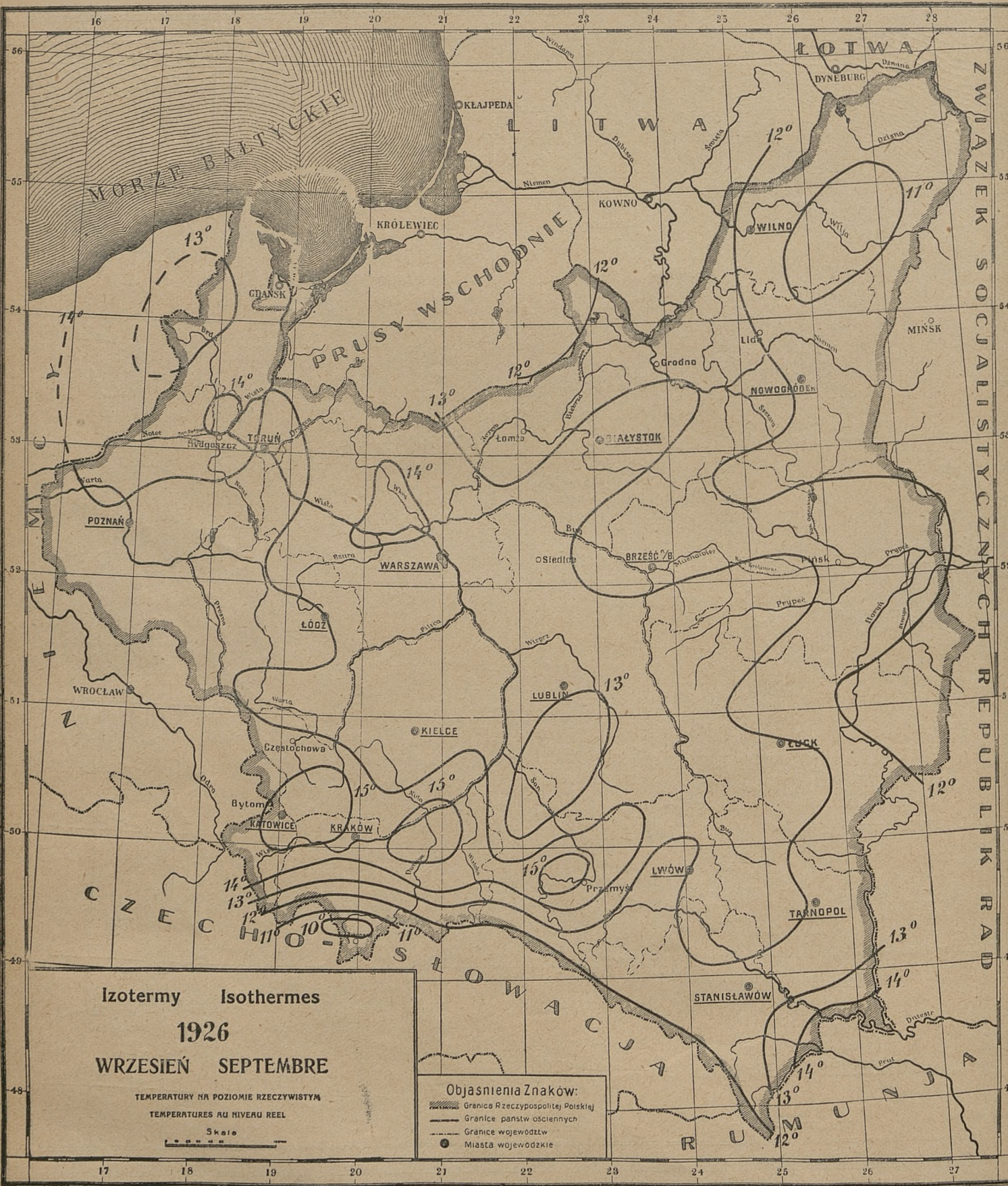
Grad. Towarzyszący burzom grad spadł miejscami w dniach 4, 9 — 10, 12 — 12, 16, 19, 23—24. Wypadki gradu były przeważnie pojedyncze, zanotowane tylko na poszczególnych stacjach. Jednocześnie na kilku stacjach grad zanotowano w dniach 13, 16 i 23 września. Nigdzie znaczniejszych szkód grad ten jednak nie wyrządził.

Mgła. Mgła w miesiącu wrześniu była zjawiskiem zwyczajnem i za wyjątkiem 31-go września obserwowana była codziennie na mniejszej lub większej ilości stacyj, przyczem nietylko w godzinach porannych, jak w miesiącach poprzednich, lecz i w innych godzinach i nawet w ciągu całego dnia, co jest charakterystyczne dla początku jesieni. Dość znaczne rozpowszechnienie w kraju mgła osiągnęła w dniach 4 — 6, 10 — 11, 20, 22, i 25 — 30 września, przyczem na szczególną uwagę zasługują pod tym względem dni 5-go i 16-go września.

W. Niebrzydowski.





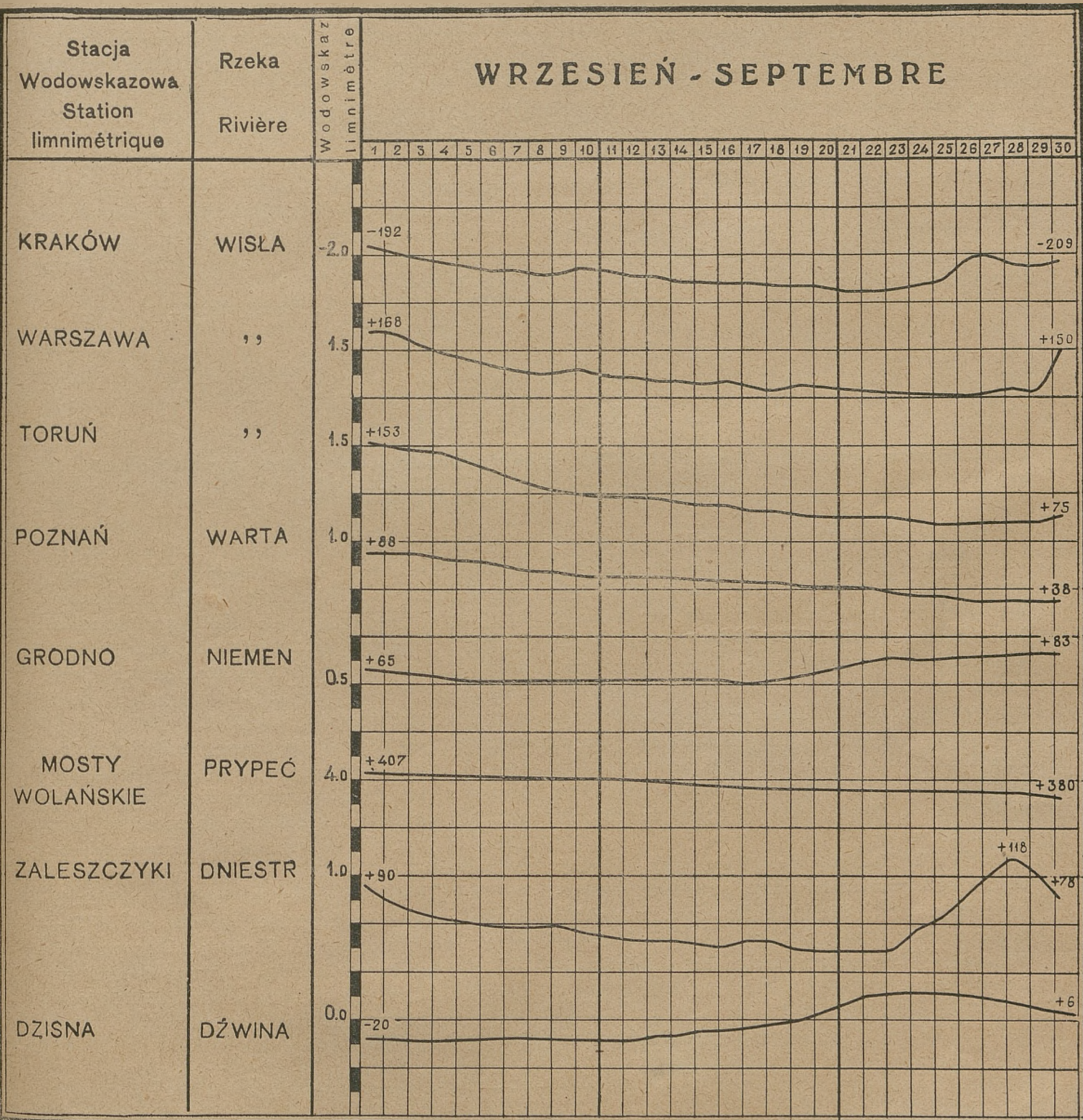


Centralne Biuro Hydrograficzne Ministerstwa Robót Publ.

Przebieg zmian stanów wody na rzekach Rzplitej Polskiej

w wrześniu 1927 r.

Changements du niveau de l'eau sur les rivières de la République Polonaise en Septembre 1926.



Orkan w Ameryce

W końcu drugiej dekady miesiąca przez grupę wysp Bahama i półwysep Florydę przeszedł straszny cyklon podzwrotnikowy, który wyrządził nadzwyczajne szkody w kraju, gdzie gwałtowne orkany wogóle nie należą do rzadkości. W danym wypadku szkody te były olbrzymie. Na Florydzie zginęło 242 osób a 5000 zostało rannych. Szkody materialne wynoszą pół miljarda dolarów. Prezydent Coolidge wezwał cały naród do ofiarnej pomocy. Według opowiadań świadka huraganu, który szalał 17-18 września, w czasie burzy w powietrzu latały olbrzymie gałęzie i pnie drzew oraz dachy domów. Słupy telegraficzne zostały powyrywane. Budynki o konstrukcji metalowej uległy zniszczeniu, przyczem szyny żelazne gięły się jak wstążki; wreszcie huragan porywał samochody i unosił je w powietrze. Na małej wysepce Grand Turk w południowo - wschodnim odcinku grupy wysp Bahama 4000 osób pozostało bez dachu nad głową. Jezioro Okechobee na Florydzie zerwało tamy i zalało okolice. Katastrofa pociągnęła ofiary w ludziach. Na wszystkie miejsca katastrofy zostały wysłane specjalne pociągi sanitarne. Burza w zatoce meksykańskiej szalała jeszcze 19-gowrześnia popołudniu.

W. Niebrzydowski.

Od Redakcji

**Od Sekretarza generalnego Komitetu Organizacyjnego II Zjazdu Słowiańskich Geografów i Etnografów
w Polsce otrzymaliśmy następujące zawiadomienie:**

W dniach 1 — 11 czerwca 1917 r. odbędzie się w Polsce pod protektoratem p. Prezydenta Rzeczypospolitej Polskiej II-gi Zjazd Słowiańskich Geografów i Etnografów, na którym zgodnie ze statutem Komitet Organizacyjny przyjąć może także uczonych innych narodowości. Zjazd będzie miał formę podróznego, który przy pomocy dwóch pociągów specjalnych odwiedzać będzie Śląsk, Północną Polskę, Warszawę, wschodnią Polskę, Lwów, zagłębie Borysławskie, Tatry, by zakończyć swe obrady w Krakowie. Posiedzenia odbywać się będą w Warszawie, Wilnie, Lwowie, Krakowie, Katowicach i Gdyni.

Komitet Zjazdowy, na którego czele stoi prof. Romer ze Lwowa, zaś funkcje generalnego sekretarza pełni prof. Sawicki z Krakowa, ma swoją siedzibę w Krakowie, ul. Grodzka № 64 i rozsyła wszystkim interesantom szczegółowe informacje i zaproszenia.

En date 1 — 11 juin 1927 aura lieu en Pologne et sous la protection du Président de la République Polonaise, la II Congrès de Géographes et Etnographes Slaves, auquel, selon les règlements du Statut, le Comité d'Organisation peut admettre aussi les savants des pays étrangères. Ce Congrès deviendra un voyage instructif, car, ayant à notre disposition deux trains spéciaux, nous proposons de parcourir la Silésie, le littoral polonais, Varsovie, la Pologne orientale, Léopol, le bassin minier de Borysław, la Tatra, pour finir enfin par Cracovie. Les séances seront tenues tour à tour à Varsovie, Vilna, Léopol, Cracovie, Katowice et Gdynia

Le Comité du Congrès, sous la présidence du prof. Romer de Léopol et secondé par le Secrétaire en chef, le prof. Sawicki à Cracovie, réside à Cracovie, 64 Grodzka; s'occupe lui seul, de l'envoi des invitations et de toutes informations détaillées, nécessaires aux intéressés.

WŁ. GORCZYŃSKI.

O solarymetrach i spektrografach do pomiarów promieniowania słonecznego.

W S T Ę P.

Gdy w końcu 1922 roku czynione były przygotowania do dłuższej podróży morskiej dla celów aktynometrycznych, nie było wtedy ani odpowiednich do tego celu pyrliografów, ani też prostych aktynometrów do bezpośrednich odczytywań wartości promieniowania słonecznego w danym momencie. Brak tych ostatnich, a zwłaszcza przyrządów samozapisujących dawał się też dotkliwie uczuć w ciągu całej naszej podróży na Oceanie Indyjskim; pomijając trud bezpośrednich pomiarów pod promieniami słońca tropikalnego, krzywe pyrliograficzne pozwalają w godzinach okołopołudniowych nawet lepiej uchwycić drobne w tym czasie wahania insolacji, niż to można było uczynić np. przy pomocy aktynometrów bimetalicznych, dających tylko przeciętne wartości promieniowania w okresach parominutowych.

To też zaraz po powrocie z wyprawy morskiej do Siamu, zabraliśmy się (w jesieni 1923 r.) do pracy nad otrzymaniem prostych przyrządów termoelektrycznych, pozwalających na bezpośrednie odczytywanie każdorazowej wartości natężenia promieniowania słonecznego.

Po paruletnich zabiegach i licznych pomiarach próbnych (głównie w Instytucie Botanicznym w Ariana pod Tunisem, oraz w paru oazach Saharyjskich) została skonstruowana następująca serja przyrządów:

- 1) solarymetr do odczytywań natężenia promieniowania słońca i nieba na poziomą powierzchnię ziemi.
- 2) solarymetr samozapisujący (solarygraf)
- 3) pyrliometr termoelektryczny na statywie (połączony z solarymetrem)
- 4) pyrliograf termoelektryczny

a nadto do badań widma słonecznego

- 5) spektrograf dla infraczerwonej części widma,

wreszcie spektrograf dla badania promieni ultrafioletowych i spektropyrliometr są wprzypotywanu.

Poniżej podajemy główne konstrukcje solarymetrów i solarygrafów z pobieżnym tylko opisem naszych spektrografów.

Solarymetr, jego połączenia elektryczne i części dodatkowe.

Jakkolwiek nikt dziś nie odmawia pomiarom promieniowania słonecznego podstawowego znaczenia, stwierdzić musimy, że na względnie już licznych stacjach meteorologicznych dotychczas wyjątkowo tylko prowadzone są obserwacje słoneczne. To zaniedbanie tłumaczy się nie tyle niedocenianiem wartości pomiarów słonecznych, ile przede wszystkim brakiem prostego aktynometru do odczytywań bezpośrednich. Trzeba koniecznie umożliwić stacjom meteorologicznym używanie przyrządów prostych, łatwo przenośnych i pozwalających na odczytywania bezpośrednie każdorazowej wartości promieniowania słonecznego.

Wydaje się, że zastosowanie metody termoelektrycznej jest radykalnym posunięciem na drodze do otrzymania prostego i dobrego przyrządu do pomiarów promieniowania. Jeszcze przed 1890 rokiem zbudował Crova w Instytucie Fizycznym Uniwersytetu w Montpellier pierwszy samozapisujący pyrliometr dla celów meteorologicznych. Później termoelektryczną metodę dla tychże celów stosowali: Féry, Moll, Kalitine, Dorno, ostatnio Linke, Henry i inni. Pyrliografy dostatecznie dobre w porównaniu z kon-

strukcją Crova'ego działają, poczynając od r. 1923, na kilku stacjach Ameryki Północnej (konstrukcji dr Kimball'a i p. Hobbs'a w Waszyngtonie); w Europie i w innych częściach świata używa się przeważnie od 1923 r. pyrliografów termoelektrycznych, wytwarzanych u Richard'a w Paryżu, które już dawniej opisaliśmy (patrz Wiadomości Meteorologiczne, zeszyt V 1924 r. oraz *Monthly Weather Review*, Washington, zeszyt czerwcowy 1924 r.). Pyrliografów z zegarami, podstawą paralaktyczną i samozapisującymi galwanometrami można używać tylko wyjątkowo na prostych stacjach meteorologicznych, gdyż wymagają zbyt wiele zachodu ze strony obserwatora. Dla takich obserwatorów o wiele bardziej nadają się proste solarymetry do bezpośrednich odczytowań, przedstawione na rys. 1 i 2*).

Charakterystyczną cechą konstrukcji solarymetru jest to, że części: termoelektryczna i galwanometryczna są ściśle połączone w jednym i tym samym przyrządzie. Pierwsza z tych części składa się z termostosu, który znajduje się w cylindrze mosiężnym, zamkniętym hermetycznie w zupełnie suchym powietrzu, osłonięty od góry półkulą szklaną ze specjalnego rodzaju flintu.

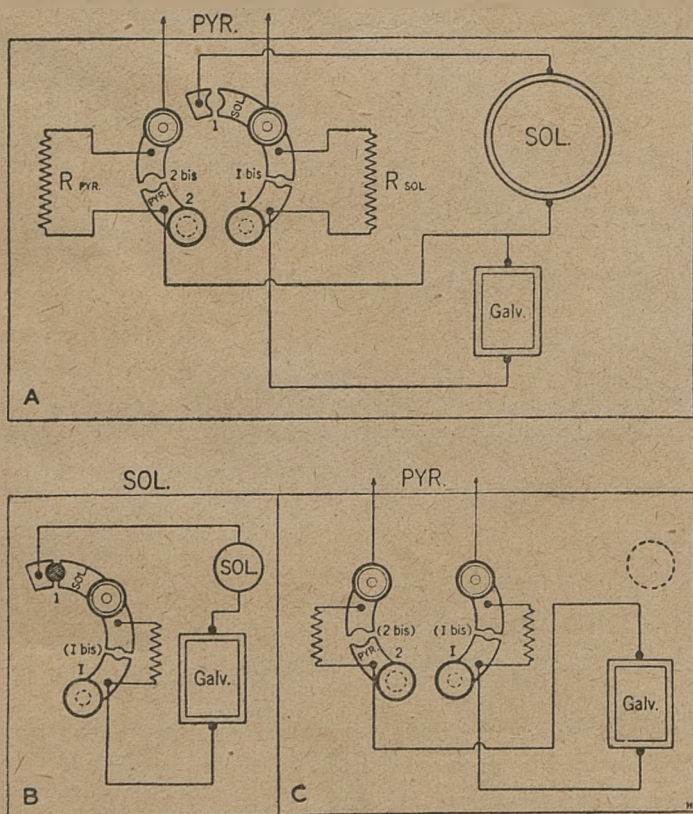
Nowy termostos solarymetryczny zbudowany jest w myśl zasady Molla; składa się on z bardzo cienkich (grubości tylko kilku mikronów) pasków z manganinu i konstantanu, których spoiny biernie zaopatrzone są w stosunkowo grube druty odprowadzające. Dzięki temu cała powierzchnia termostosu może być wystawiona na działanie promieni słonecznych bez ujemnych dla wyników.

Podczas gdy znany, duży termostos Molla, którego używaliśmy dotychczas w pyrliografii Richard'a o oporze równym 50 ohmom, dawał dla 1 kal. gr. około 25 millivoltów, to nowy termostos, solarymetru, o oporze około 8 ohmów, daje dla analogicznego promieniowania 8 millivoltów. Jeśli połączymy go z galwanometrem wskazówkowym i z cewką o oporze kilku ohmów, to dzięki dogodniejszemu rozłożeniu oporów, będziemy mogli otrzymywać w tych samych warunkach większe wychylenie solarymetrycznego termostosu, niż dużego termostosu Molla.

Jest rzeczą bardzo ważną dla pomiarów promieniowania, że w stosie solarymetrycznym poszczególne termoelementy są równomiernie pokryte spajalną substancją w ten sposób, że na słońce jest wystawiona powierzchnia ciągła; następnie cały stos jest zamknięty hermetycznie w suchym powietrzu pod półkulą szklaną tak, że wewnątrz w powietrzu nie kondensuje się para.

Wyżej wymienione zalety (płaska i ciągła powierzchnia stosu i jego hermetyczne zamknięcie w suchym powietrzu) są bardzo ważne dla pomiarów t. zw. całkowitego promieniowania słońca i nieba, gdy termostos jest umieszczony na poziomej podstawie. Gdybyśmy takie pomiary (bez rury z diafragmami) robili przy pomocy dotychczasowych termostosów Molla, to dla różnych kątów padania promieniowania, spostrzeżelibyśmy natychmiast, że wskutek odstępów między poszczególnymi termoelementami, wartości promieniowania wypadają nieco odmiennie niż powinny, zależnie od wysokości słońca i że te różnice mogą wynosić nawet 10%.

Jak już wspominaliśmy solarymetrów używa się przede wszystkim i głównie do pomiarów promieniowania słońca i nieba, padającego na poziomą powierzchnię; jednakże proste urządzenie pozwala łączyć galwanometr ze skrzynką solarymetryczną zapomocą przewodników z rurką pyrliometryczną, na małym statywie. Dzięki temu solarymetr służy jednocześnie jako



Rys. 1. Schemat połączeń elektrycznych w skrzynce solarymetru.

prosty pyrliometr wskazaniowy. Na rys. 1 podane są w formie schematu omawiane połączenia elektryczne solarymetru.

*) Zwłaszcza, że amerykański pyrliograf kosztuje ponad 400, skonstruowany u Richard'a w Paryżu niecałe 250 dolarów, solarymetr zaś można otrzymać za 65 dolarów w fabryce przyrządów fizycznych „Kipp” w Delft w Holandji, lub J. Richard'a w Paryżu. W Warszawie przyrządy te można otrzymać w Warsztatach Mech. Opt. L. Balcerkiewicza.

Objaśnienie znaków rys. 1.

A. Górny schemat.

Sol... termostos solarymetryczny pod półkulą szklaną.

Galw... magnes z ruchomą cewką i wskazówką.

1, 2, 2 bis... rozmaite położenia większych śrubek stykowych.

I, I bis... rozmaite położenia mniejszych śrubek stykowych.

N. B. — w 2 i I dwie śrubki stykowe w położeniu neutralnem, w którym nie wpływają na bieg połączeń elektrycznych.

$R_{sol.}$, $R_{pyr.}$ — dodatkowe opory, które możemy wyłączyć, przekładając odpowiednie śrubki stykowe do I bis i 2 bis.

NB. — dwa kręgi ze strzałkami, oznaczają zaciski do włączenia przewodników rurki pyrheliometrycznej.

B. Połączenia solarymetru (schemat dolny, strona lewa).

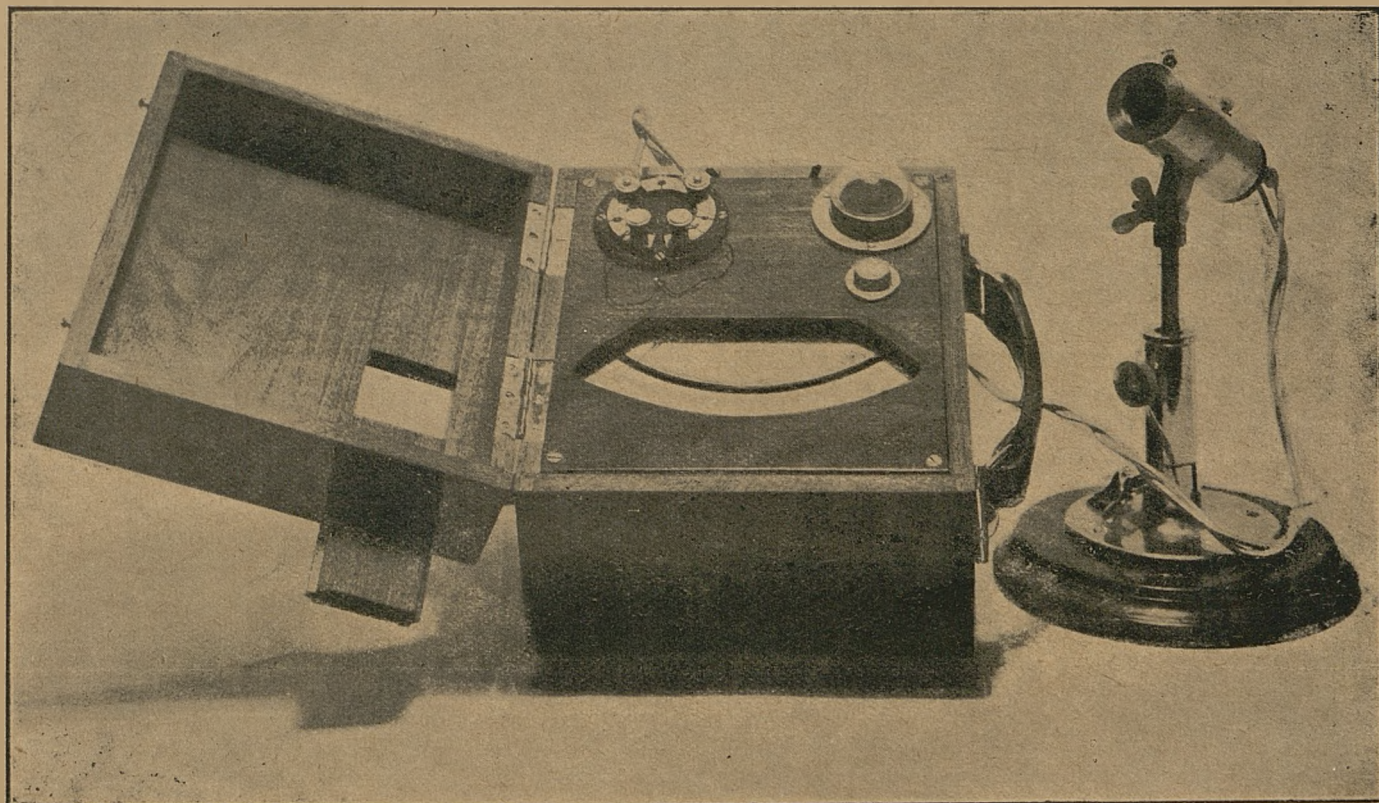
(1 i I jako połączenie zwykle używane)

Zwykle umieszczamy większą śrubkę stykową w 1, mniejszą w I (miejsce neutralne). Przez to włączamy opór dodatkowy $R_{sol.}$. Przez przełożenie mniejszej śruby stykowej z I do I bis, wyłączamy opór dodatkowy $R_{sol.}$. Wówczas wychylenie galwanometru powiększy się, lecz stosunkowo nieznacznie, gdyż opór $R_{sol.}$ jest niebardzo duży i służy głównie do tego celu, aby można było spólczynnikowi przejścia nadać dogodną wartość.

C. Połączenia pyrheliometru (schemat dolny, strona prawa).

(2 i I jako połączenie zwykle używane)

Obie śrubki stykowe pozostawiamy w ich neutralnych położeniach (I i 2), tem samem włączamy oba opory dodatkowe $R_{pyr.}$ i $R_{sol.}$. Gdy śrubki stykowe przełożymy z 2 do 2 bis i I do I bis, wyłączymy opory $R_{pyr.}$ i $R_{sol.}$ i dzięki temu wychylenia znacznie się zwiększą. Z tego ostatniego połączenia korzy-



Rys. 2. Solarymetr skrzynkowy (z otwartą przykrywką) do odczytywań natężenia promieniowania słońca i nieba, padającego na poziomą powierzchnię, połączony jednocześnie z rurką pyrheliometryczną na statywie dla promieniowania padającego normalnie.

stamy tylko przy bardzo małych wartościach natężenia promieniowania słonecznego, lub przy pomiarach promieniowania przez filtry. Mogą być i inne kombinacje (np. 2 bis i I), lecz te mogą się przydać tylko wyjątkowo; dla każdej takiej kombinacji musimy mieć oddzielnie wyznaczony współczynnik przejścia.

Jak to widzimy na rys. 2, rurka pyrliometryczna jest zmontowana na niewielkim statywie i można ją łatwo, przez dokonanie odpowiednich obrotów, ustawić normalnie względem promieni słonecznych.

Rurka pyrliometryczna zaopatrzona jest w taki sam termostos solarymetryczny, jaki już przedtem został umieszczony w skrzynce solarymetrycznej pod półkulą szklaną. Po drugiej stronie rurki znajduje się soczewka sferyczno - cylindryczna, która nie tylko ochrania termostos przed zakłócającymi wpływami atmosfery, lecz przede wszystkim znacznie zwiększa termoelektryczny efekt stosu.

Stosowanie soczewki sferyczno - cylindrycznej nie jest konieczne i możnaby ograniczyć się do użycia zwykłej płytki szklanej płasko równoległej (dotychczas jeszcze używanej do termostosów Molla), która pozwala także otrzymywać znaczne wychylenia i dobre wyniki.

Zastosowanie soczewki daje jednak duże korzyści, mianowicie umożliwia skupienie wiązki promieni, która po przejściu przez soczewkę koncentruje się w kształcie paska świetlnego na środkowej części termostosu (gdzie znajdują się spojenia czynne). Przez użycie odpowiedniej diafragmy czworokątnej można jeszcze lepiej wydzielić promienie i pozostawić w cieniu spojenia bierne.

W połączeniu z rurką pyrliometryczną można także z łatwością używać filtrów świetlnych, mianowicie następujących:

1) czarnego szkła marmurowego, które jest nieprzezroczyste dla promieni widzialnych, zaś dostatecznie przezroczyste dla najważniejszej w meteorologii podczerwonej części widma. Współczynniki transmisji dla płytki grubości 7,3 mm wynoszą:

długość fali (μ)	0.8	1.2	1.6	2.0	2.2	2.4	2.6	2.8
% przepuszczonego promieniowania	6	46	79	85	81	64	30	9

2) znanego czerwonego szkła jenajskiego (F.4512) dla promieni czerwonych i podczerwonych.

3) filtru t. zw. fioletowego w postaci roztworu 30 gr. CaSO_4 w 100 gr. H_2O ; dostatecznie gruba warstwa praktycznie nie przepuszcza promieni podczerwonych.

Możnaby powiększyć liczbę tych filtrów, dodając jeszcze nowe amerykańskie kombinacje ze szkłem typu „Corning“, co pomijamy tutaj ze względu na brak miejsca.

Wyznaczanie współczynników przejścia dla solarymetrów.

Pomiary wykonywane za pomocą solarymetrów są tak proste, że można je z łatwością połączyć z innymi obserwacjami terminowymi na stacji meteorologicznej. Pomiary solarymetryczne rozpoczyna się od odczytania „położenia zerowego“ galwanometru przez małe okienko w skrzynce solarymetru (lub też zasłaniając termostos). Potem otwiera się skrzynkę i notuje wychylenie, powstające pod wpływem działania słonecznego; po zamknięciu skrzynki ponownie odczytuje się „położenie zerowe“. Wogóle oba odczytania zerowe będą się trochę różniły, gdyż ochronna półkula szklana nieco się ogrzewa w czasie obserwacji, a wskutek jej stosunkowo dużej masy, kilka sekund musi upłynąć zanim ustali się równowaga.

Z tego powodu odczytywanie wskazań termostosu solarymetrycznego z półkulą szklaną odbywają się nieco powolniej, niż pyrliometrycznego termostosu, przy którym ostateczne wychylenie galwanometru, lub położenie zerowe zostaje osiągnięte bardzo szybko. Przy pomiarach solarymetrycznych trzeba zawsze parę sekund poczekać, aby wskazówka galwanometru mogła zająć odpowiednie położenie.

Bardzo dokładnie można solarymetru na poziom nie ustawiać, o ile słońce nie znajduje się zbyt blisko horyzontu.

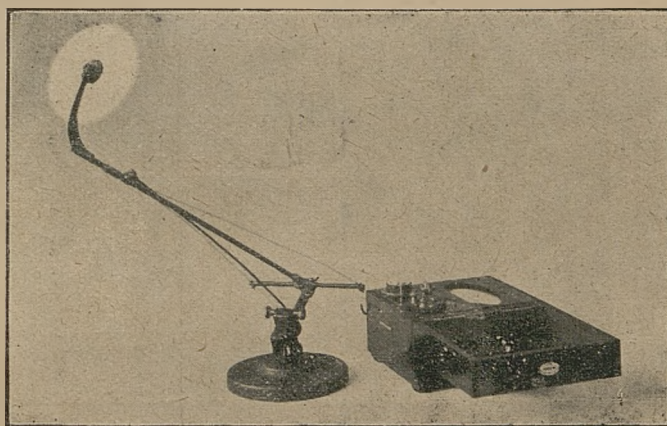
Wychylenia galwanometru są wyrażone w podziałkach skali (0 — 100); opory dodatkowe R_{sol} i R_{pyr} (rys. 1) tak dobieramy, aby współczynniki przejścia (które odpowiadają wartości 1 podziałki skali w kal. gr. na cm^2 i min.) osiągnęły pewne wartości, najczęściej zaokrąglone (zwykle 0.02 dla pyrliometru i 0.03 dla solarymetru z oporem, bez R_{sol} i R_{pyr} odpowiednio mniej).

W celu skalibrowania rurki pyrliometrycznej umieszcza się śrubki stykowe w ich położeniach neutralnych (2 i I), wtedy opory dodatkowe są całkowicie włączone. Wychylenie galwanometru, które przyjmujemy jako proporcjonalne do natężenia promieniowania, padającego prostopadle, porównujemy synchronicznie z normalnym pyrliometrem i współczynnik przejścia otrzymujemy przez proste dzielenie. Gdy śrubki stykowe znajdują się nie w 2 i I, lecz np. w 2 bis i I bis (t. j. opory dodatkowe są wyłączone), współczynnik przejścia staje się mniejszy i możemy go obliczyć ze stosunków wychyleń dla rozmaitych oporów.

Jeśli przy fabrykacji przyrządu opory zostały tak dobrane, że współczynnik nie wyraża się prostą liczbą (np. 100 podziałek nie odpowiada 2.00 kal. gr. na cm² i min. dla prostopadłego kierunku padania), to można, przy pomocy drutu dodatkowego o dużym oporze właściwym (najlepiej brać cienkie druty manganinowe praktycznie bez współczynnika temperaturowego), nadać współczynnikowi przejścia dogodną wartość.

Najlepiej drut dodatkowy, umieszczony w małej rurce połączyć w szereg z innymi przewodnikami i później odpowiednio go skracać dopóty, dopóki podwójna wartość wychylenia w podziałkach nie stanie się równą wartości pyrhelimetrycznej w częściach setnych kalorii gramowej; tę ostatnią otrzymujemy synchronicznie zapomocą przyrządu normalnego do promieniowania, padającego prostopadle. Np., jeśli natężenie promieniowania (mierzone zapomocą pyrhelimetru normalnego) wynosi 1.04 kal. gr., to powinniśmy otrzymać wychylenie galwanometru równe 52 podziałkom skali, aby współczynnik wyniósł 0.02.

Kalibrowanie termostosu solarymetrycznego pod półkulą szklaną jest nieco bardziej kłopotliwe, niż rurki pyrhelimetrycznej. W tym celu możemy stosować dwie metody. Albo możemy wyjąć ze skrzynki solarymetrycznej termostos z półkulą szklaną, umieścić go w rurce z diagframmami na statywie pyrhelimetrycznym i porównywać synchronicznie z przyrządem normalnym, który tak samo wystawiamy na działanie promieni słonecznych, padających normalnie, albo też, jeśli chcemy uniknąć zdejmowania termostosu, możemy skorzystać z drugiej metody, którą już z powodzeniem stosował dr. Kimball przy kalibrowaniu pyrheliografu Callendara. W tym celu bierzemy specjalny ekran słoneczny, w kształcie małej okrągłej płytki metalowej na statywie; ekran ten wystawiamy na słońce w ten sposób, że wewnątrz stosu solarymetrycznego pozostaje w cieniu; promieniowanie nieba działa jednak w zupełności na termostos i możemy zaobserwować niewielkie wychylenie galwanometru.



Rys. 3. Przyrząd do pomiarów promieniowania nieba według metody Kimballa.

Wartość, odpowiadającą natężeniu promieniowania nieba, odejmujemy od zwykłego odczytania solarymetru (bez ekranu) i rezultat porównujemy z wartością pyrhelimetryczną, zredukowaną dla płaszczyzny poziomej.

Przykład najlepiej wyjaśni nam ten niewielki rachunek:

11 godz. 33 min. do 11 godz. 42 min czasu prawdziwego słonecznego.

a) Odczytanie solarymetru.

położenie zerowe przed obserwacją	0.4
odczytanie w słońcu	28.0
położenie zerowe po obserwacji	0.1
poprawione odczytanie	27.7

b) Promieniowanie nieba.

odczytanie w cieniu (ekran wstawiony)	2.9
średnia wartość (przed i po) położenia zerowego	0.2
poprawione odczytanie	2.7

c) Wyznaczenie współczynnika przejścia.

Jeśli pyrhelimetr normalny, w czasie wyżej podanym, wykazał średnio 1.17 kal. gr. na cm² i min. odległość zenitalna wynosiła 50°, 1 (dla 11 godz. 38 min.), to współczynnik przejścia będzie:

$$k = \frac{1.17 \cos 50^{\circ}1}{27.7 - 2.7} = \frac{0.749}{25.0} = 0.03$$

Spółczynnik ten otrzymaliśmy przy włączonym oporze dodatkowym $R_{sol.}$ (śrubki stykowe w 2 i I). Gdybyśmy $R_{sol.}$ wyłączyli (śrubki w 2 i I bis), otrzymalibyśmy wartość nieco mniejszą, zwykle bliską 0.02,

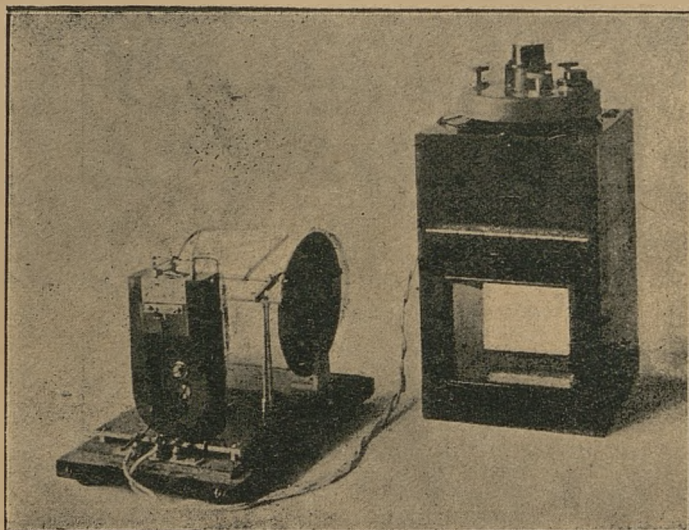
Dzięki zastosowaniu nowych oporów (które dołącza się wprost do termostosu lub do cewki $R_{sol.}$) można dogodnie zmieniać współczynnik przejścia solarymetru. Jakkolwiek zwykle współczynniki przejścia podaje instytucja, która dokonała cechowania, to jednak dobrze jest dla obserwatora znać całą procedurę, aby mógł wrazie potrzeby kalibrowanie powtórzyć na miejscu (o ile posiada normalny pyrheliometr).

Przyrządy termoelektryczne samozapisujące do badania promieniowania słonecznego.

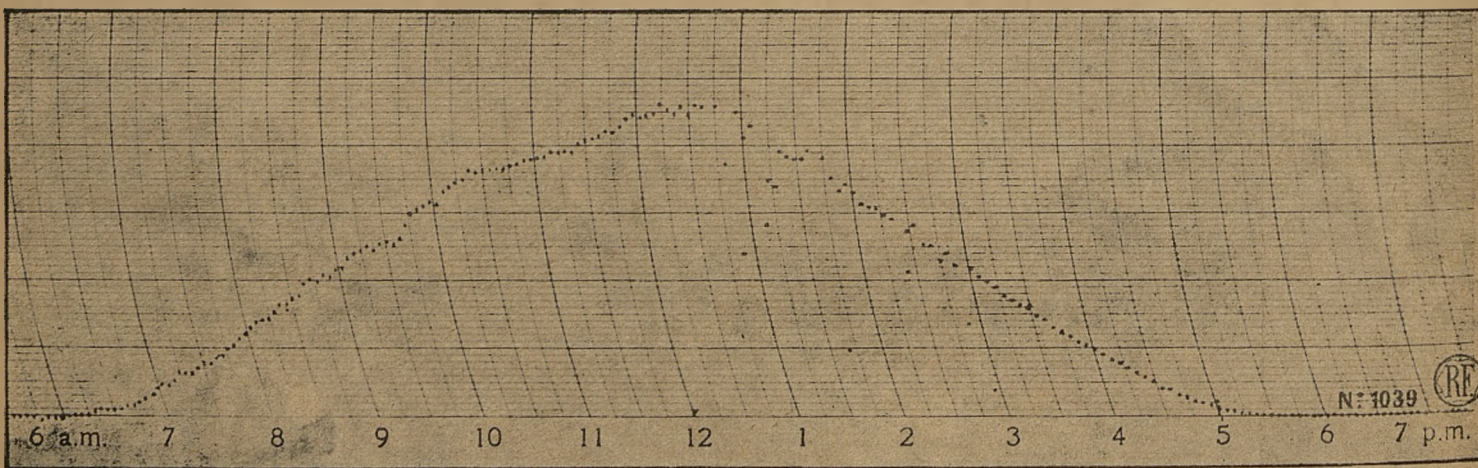
Jakkolwiek solarymetrów głównie używa się do odczytywań bezpośrednich i do tego właśnie celu zostały one skonstruowane, to jednak można je z łatwością dostosować i do rejestrowania automatycznego. Zwykła skrzynka solarymetryczna nie jest przeznaczona do tego, aby stale pozostawała na otwartym miejscu, natomiast hermetycznie zamknięty pod półkulą szklaną termostos można śmiało pozostawić pod gołym niebem na niewielkiej podstawie. Gdy pozostawimy taką podstawę ze stosem solarymetrycznym w miejscu otwartym i termostos przewodnikami połączymy z ustawionym w pokoju galwanometrem samozapisującym, otrzymamy solarygraf*), który zarówno łatwo sporządzić, jak i później z nim się obcho-

dzić. Na rys. 4 mamy fotografię solarygrafu na podstawie (na górze) z samozapisującym galwanometrem (na dole). Jako galwanometr używamy zwykle samozapisujących miliwoltomierzy (przeważnie model Richard'a), gdyż są one dogodne w użyciu i okazały się najzupełniej odpowiedniami już w naszych termoelektrycznych pyrheliografach.

Ważną nowością w solarygrafach jest jednak wybór samozapisującego galwanometru o małym oporze wewnętrznym tak, że po połączeniu z termostosem o oporze ca. 8 ohmów, można otrzymać dość dobre wychylenia nawet przy niebie całkowicie pokrytym chmurami.



Rys. 4 Solarygraf.



Rys. 5. Krzywa zapisana przez solarygraf.

Na rys. 5 mamy podaną fotografię solarygramu, otrzymanego dn. 4 października 1926 r. w Waszyngtonie (U. S. Weather Bureau, Solar Radiation Observatory).

Tego dnia w Waszyngtonie niebo było nieco zachmurzone w godz. 12 godz 30 min. — 1 godz. 30 min., co odrazu ujawnia nam kilka nieregularności w przebiegu krzywej, pozatem niczem niezakłóconym.

*) Takie solaryграфы sporządzane są w Paryżu (Jules Richard, Rue Mélinque 25), lub w fabryce przyrządów „Kipp” Delft (Holandja).

Krzywe solarygrafu są dość podobne (tylko rzędne maleją wolniej rano i wieczorem) do pyrhelio-gramów, które otrzymuje się zapomocą opisanych przez nas już w 1924 r. pyrhelio-gramów termoelektrycznych. Obecne wykonanie tego przyrządu, samozapisującego natężenie promieniowania, padającego normalnie jest nieco zmienione; zamiast dużego termostosu Molla, używa się nowej, małej rurki pyrhelio-metrycznej, na nieco ulepszonej podstawie aequatorialnej, z soczewką sferyczno - cylindryczną, która już była zastosowana w solarymetrze.

Ten sam samozapisujący galwanometr może notować wartości pyrhelio-gramiczne i solary-gramiczne tylko wtedy, jeżeli zastosujemy specjalną formę tego przyrządu z dwoma, lub więcej kontaktami.

W końcu możemy jeszcze wspomnieć o naszych termoelektrycznych spektrografach, a mianowicie ich najnowszej postaci, którą wypróbowaliśmy ostatnio dla celów meteorologicznych w kilku oazach Sa-hary i w Instytucie Botanicznym w Arianie pod Tunisem.

Te spektrografy *) patrz rys. 6 i rys. 7 składają się z:

1) właściwej spektrograficznej części, która zawiera potrzebną aparaturę optyczną i linjowy ter-mostos (albo termoelement, najczęściej próżniowy).

2) podstawy paralaktycznej z zegarem (drugi zegar do obracania pryzmatu umocowany jest w skrzynce spektrografu),

3) galwanometru zwierciadełkowego, szybko ustalającego się i o stałej linii zerowej; galwanometr ten dla promieniowania słonecznego może być tylko umiarkowanie czuły.

4) rejestrującego urządzenia fotograficznego z potrzebnymi dodatkami.

Droga promieni jest następująca:

Promienie słoneczne skupia na szparze mikrometrycznej soczewka sferyczno-cylindryczna (odległość ogniskowa około 180 mm), która znajduje się w małej rurce, wystającej ze skrzynki spektrografu (rys. 6).

Padające wówczas już na właściwą część spektrografu prom. słoneczne-biegną ku posrebrzanemu zwierciadłu wklęsłemu, a po odbiciu zmierzają w kierunku pryzmatu. Przeciwległa ściana pryzmatu jest posrebrzona tak, że promienie po załamaniu zo-stają znów odbite; wracają one do wklęsłego zwierciadła, które odbija je ku szparze. Przed szparą jest jednak umieszczone płasko - równo-ległe zwierciadło, które te odbite promienie skierowuje na termoelement lub na linjowy termostos.

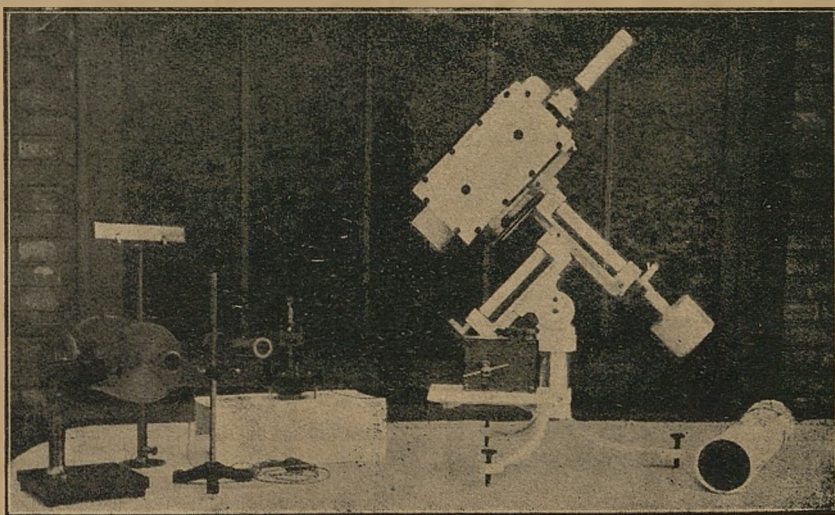
Jednocześnie pryzmat obraca się nieco dookoła swej osi, dzięki specjalnie dodanemu mechanizmowi zegarowemu tak, że widmo stopnio-wo przesuwa się w poprzek szpary

linjowego termostosu lub otworu termoelementu próżniowego; w ten sposób w ciągu mniej więcej 10 mi-nut przesuwa się część widzialna widma i podczerwona (do 3 μ).

W części termoelektrycznej używaliśmy przyrządów rozmaitych typów; najlepsze wyniki otrzymy-waliśmy zawsze z nowym próżniowym termoelementem Molla (albo linjowym termostosem w powietrzu); a także z termoelementem (ze zwierciadłem), systemu Voega konstrukcji C. Zeiss'a w Jenie.

Najlepszym galwanometrem zwierciadłowym okazał się wytwarzany u Kippa w Delft typ-Sch, oraz galwanometr Molla: oba są nader szybkie w działaniu i mają bardzo dobrą linię zerową. Czułość galwanometru Sch wynosi 1.25×10^{-7} amp. dla 1 mm wychylenia przy odległości skali równej 1 metrowi, lub też 1 microwolt daje wychylenie 0.2 mm dla tej samej odległości. Opór wynosi ca. 20 ohmów, co też blisko odpowiada wartości oporu linjowego termostosu (typ micro). W galwanometrze Molla (o opo-rze 45 ohmów), mamy wychylenia większe, niż 1 mm, dla microwolta przy odległości skali równej 1 metrowi.

Galwanometr Sch wystarcza do pomiarów w podczerwonej części widma słonecznego, przytem jest tak prosty w użyciu praktycznym, że mogły być z nim robione bez uszkodzenia liczne, uciążliwe



Rys. 6. Spektrograf do badania podczerwieni (do spostrzeżeń meteorologicznych).

*) Takie kompletne spektrografy meteorologiczne można otrzymywać za 1000 dolarów w Paryżu, lub w Delft (Holandji).

podróże automobilowe w pustyni Saharze; także w uciążliwych stosunkach w oazach łatwo go było instalować, gdyż nie wymaga żadnych specjalnych warunków.

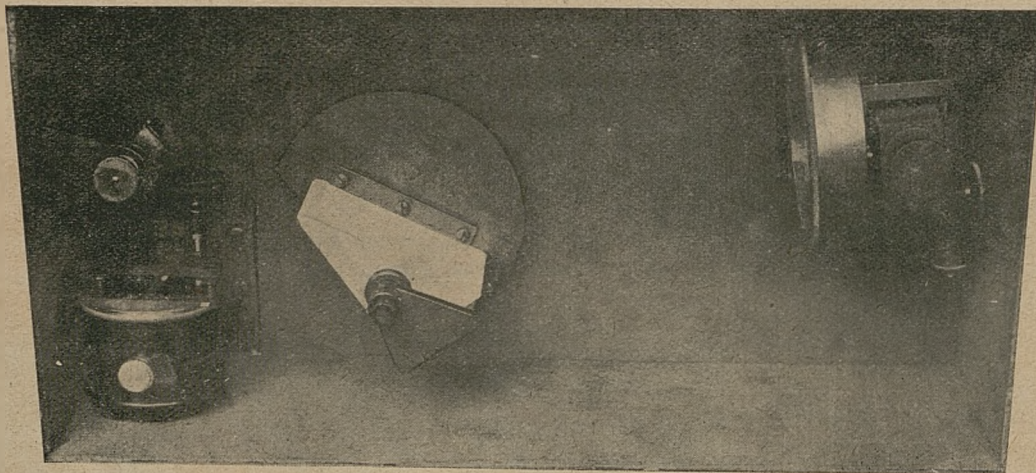
Części optyczne, a mianowicie pryzmat i soczewka sferyczno-cylindryczna, są zrobione ze specjalnego flintu ($n_d = 1.64695$ $\nu = 34.2$, Parra Mantois D. 262) o następującej przezroczystości w podczerwieni dla płytek grubości 15 mm.

długość fali (μ)	1.8	2.0	2.2	2.4	2.6	2.8	3.0 μ
% przepuszczonego promieniowania	90	93	87	82	77	66	23

Wartości dla czerwieni i podczerwieni nie są podane, gdyż tutaj szkło jest prawie zupełnie przezroczne.

Wartości te wyznaczył na drodze spektrograficznej p. Franciszek Liana w r. 1925.

Do otrzymywania naszych krzywych spektrograficznych z podczerwonej części widma, używaliśmy także pryzmatów z soli kamiennej i fluorytu, które jednak do celów meteorologicznych (do 3 μ) specjalnie



Rys. 7. Wnętrze skrzynki spektrograficznej (części: optyczna i termoelektryczna).

się nie nadają i stosujemy je tylko wyjątkowo, ponieważ, jak wiadomo, sól kamienna jest bardzo niedogodna w użyciu, zaś pryzmatów fluorytowych nie można otrzymać w stanie zupełnie czystym.

Opisane wyżej spektrografy okazały się w latach 1924 — 1926 w północnej Afryce i w Saharze bardzo dogodne i będą w r. 1927 służyły do przeprowadzenia większej serii pomiarów w Obserwatorium

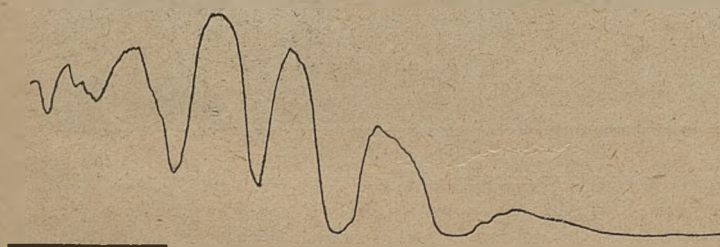
w Tacubaya (Meksyk). W ciągu kilku minut (8 do 15, w zależności od mechanizmu zegarowego otrzymuje się spektrogram (rys. 8), gdzie występują szczególnie bardzo dobrze i typowo, cztery charakterystyczne wielkie pasma absorbcyjne.

Takie spektrogramy pozwalają łatwo badać absorbcję warstw atmosferycznych.

Nieodzownym uzupełnieniem naszego instrumentarium musi jeszcze być spektrograf dla ultrafioletowej części widma, którego konstrukcję

już zapoczątkowaliśmy. Jego część optyczna będzie zrobiona z kwarcu, lub z nowego amerykańskiego szkła Corning, i będzie się składała z jednej soczewki cylindrycznej, dwóch soczewek płasko-wklęsłych i dwóch pryzmatów. Termoelement próżniowy będzie się obracał wzdłuż widma.

Szczegóły tego i naszego spektrografu do podczerwonej części widma opiszemy w oddzielnej rozprawie.



Rys. 8. Spektrogram (podczerwona część widma).

Bibliografja

W rozdziale tym podaje się ogólny spis wydawnictw, które Biblioteka Państwowego Instytutu Meteorologicznego otrzymała w ciągu miesiąca.

Sous cette rubrique nous donnons la liste générale des publications, reçues dans le courant du mois par la Bibliothèque de l'Institut.

W wrześniu r. b. do Biblioteki Państwowego Instytutu Meteorologicznego nadeszły następujące wydawnictwa:

- Inż. Wallace Clark. Wykresy Gantt'a jako środek organizacji. Tłum. inż. A. Kucharzewski. Warszawa 1925.
- Prof. H. Le Chatelier. Filozofja systemu Taylora. Tłum. inż. K. Adamieckiego. Warszawa 1926.
- H. Fayol. Administracja przemysłowa i ogólna oraz nauka o administracji w zastosowaniu do Państwa. Przełożył Dr. J. A. Tesler. Warszawa 1926.
- Naukowa Organizacja pracy. Pierwszy Zjazd Polski 1924. Warszawa 1925.
- Gazeta Cukrownicza. Rok XXXIII. Tom L'X NNr. 34-39.
- Gazeta Rolnicza. Rok LXVI. Nr. Nr.: 36—39.
- Rocznik Hydrograficzny 1922—1923. 1) Dorzecze Niemna i Dźwiny Warszawa — Wilno 1926.
- Rocznik Hydrograficzny 1922 - 1923. 2) Dorzecze Dniepru. Warszawa—Lwów 1925.
- Wiadomości Statystyczne Głównego Urzędu Statystycznego. Rok IV. Nr. Nr.: 17, 18.
- Żeglarz Polski. Rok V. Nr. Nr.: 34—35, Tczew 1926.
- Ziemia. Rok XI. Nr. Nr.: 17, 18. Warszawa 1926.
- Izwestija Akademii Nauk S. S. S. R. VI ser. Nr. 9 Leningrad 1926.
- Bulletin mensuel des stations sismiques de l'Institut Physico-Mathématique de l'Académie des Sciences de l'U. R. S. S. Leningrad, Kucino, Irkutsk, Pulkowo, Baku, Makeewka, Kucino I 1926.
- Mesicni prehled meteorologických pozorování. Ústřední Observator Praha II. Kveten—Cerven 1926.
- Bulletin de l'Observatoire de Lyon. Tom VIII Nr. 9.
- La Météorologie Nr. 16, Juillet 1926. Paris.
- Revue générale des Sciences pures et appliquées. 37-e année. Nr. 15—16 1926.
- Bulletin Mensuel de l'Observatoire de Tananarive. Madagascar. Vol. I NNr. 4—9. Avril—Septembre 1924.
- Bulletin annuel de l'Observatoire Météorologique du Séminaire—Collège St. Martial Port—au—Prince, Haiti, Année 1924. Port—au—Prince 1926.
- Annual report of the Meteorological Committee to the Air Council. For the year ended 31st march 1926. London 1926.
- J. Allen Clark, J. H. Martin, J. H. Parker. Comparative hardness of winter—wheat varieties.
- J. Patterson. The Cup Anemometer. From the Transactions of the Royal Society of Canada. Ottawa 1926.
- The Comparison of sunshine records of the Campbell—Stokes type. Professional Notes Nr. 45 London 1926.
- Relations between the temperatures, pressures and densities of gases. Circular of the Bureau of Standards Nr. 279 Washington 1926.
- Bulletin of the American Meteorological Society. August—September 1926.
- Weekly Weather Report of the Meteorological Office Vol. XLIII NNr. 35, 36, 37.
- Monthly Weather Report of the Meteorological Office. Vol. 43, Nr. 7. London.
- Monthly Weather Review. Vol. 53 Nr. 12 December 1925, Vol. 43 NNr. 1, 2, 6 January, February, June 1926.
- Monthly Meteorological Summary. June 1926. Apiā Observatory. Western Samoa.
- Climatological Data for the United States by sections. Vol. XII NNr. 9—12 September—December 1925, Vol. XIII Nr. 1 January 1926. Washington.
- Rain map of Australia for the year 1925. Melbourne.
- Results of Meteorological, Magnetical and Seismological Observations 1924. Toronto Observatory (Canada). 1926.
- Seismological Report I—III, IV—VI 1925. Department Of Commerce U. S. Coast and Geodetic Survey.
- Monthly Report of the Central Meteorological Observatory of Japan. Meteorological Observations in Japan in the month of February 1925. Tokyo, 1926.
- Rechentafeln zur harmonischen Analyse von Dr. Leo Wenzel Pollak. Leipzig 1926.
- Dr. A. L. Crell's Rechentafeln. Neue Ausgabe besorgt O. Seeliger. Berlin u. Leipzig 1923.
- Lehrbuch der Gephysik herausgegeben von Dr. B. Gutenberg. Lieferung 1 und 2. Berlin 1926.
- Flugfunkwetter. Die Flugwettermeldungen Europas. Mit Sendezeiten, Wellenlängen, Rufnamen und Kennziffern. Zusammen gestellt vom Aeronautischen Observatorium Lindenberg, Kreis Beeskow, Zentrale des Höhenwetterdienstes. Juni 1926. Nachtrag 1, 2.
- Annalen der Hydrographie und Maritimen Meteorologie. Heft IX Sept. 1926. Berlin.
- O. Baschin. Das Schäumen des Meerwassers. N. Kalitin. Messung des Salzgehaltes von Lösungen mittels der photoelektrischen Methode. H. Maurer Echolotung bei geneigtem und stark bewegten Bodenprofil. F. Fischer. Die allgemeine Funkbeschießungsgleichung L. Pollak, Zur harmonischen Analyse empirischer, durch eine grosse Zahl gegebener Ordinaten definierter Funktionen. P. Perlewitz. Geschwindigkeit des aufsteigenden Luftstroms im emporquellenden Cumulus. G. Hugo. Seemännische und aufstiegstechnische Gesichtspunkte für die Errichtung einer aerologischen Station mit Bordaufstiegsbetrieb an der deutschen Küste unter Berücksichtigung der Erfahrungen der Drachenstation am Bodensee.

Köppen-Heft der Annalen der Hydrographie und Marit. Met. Beiheft zur September — Nummer 1926.

P. Perlewitz. Wladimir Köppen zum 80 Geburtstag. A. Defant. Die Austauschgrösse der atmosphärischen und ozeanischen Zirkulation. E. van Everdingen. Gibt es stationäre glaziale Antizyklone? F. Exner. Über den Einfluss von Luftdruckänderungen auf die vertikale Temperaturverteilung. H. v. Ficker. Temperatur und vertikale Temperaturabnahme auf Teneriffa. C. Gentzen. Ergebnisse der meteorologische Beobachtungen von Hamburg im System der Deutschen Seewarte für die 50 Jahre 1876 bis 1925. J. Georgi. Einfluss einer Insel auf die Luftströmung. W. Grosse. Erhöhung der Jahresmitteltemperatur im Gebiet des Nordatlantischen Ozeans. P. Heidke. In sich homogene und relativ homogen meteorologische Beobachtungsreihen sowie Reduktion einer Reihe auf eine oder mehrere andere. G. Hellmann. Beitrag zur Frage nach der Eintrittszeit des täglichen Maximums der Lufttemperatur auf dem Meere. E. Kuhlbrodt. Technik und bisheriger Umfang der Pilotballonaufstiege auf dem Vermessungs- und Forschungsschiff „Meteor.“ G. Melander. Über Messungen mit Aitkens Staubzähler. W. Peppeler. Die Temperaturverhältnisse am Bodensee bei kalte ablandigen Winden. A. Schmauss. Die Häufigkeit bestimmter Luftdruckwerte an bestimmten Tagen. H. Seilkopf. Meteorologische Flug Erfahrungen im nordwestlichen Deutschland. Sir Napier Shaw. Centres of Action in the Atmosphere. A. Wallén. Zwölf Jahre langfristiger Prognosen von Niederschlag und Wasserstand. A. Wegener. Die prognostische Bedeutung der Luftspiegelung nach oben. K. Wegener. Klima und Kulturzone. L. Weickmann. Luftdruckwellen über der Nordhemisphäre. B. Weinberg. Physikalische Betrachtungen über Entstehung und Schicksal einzelner Elemente der Hydrometeore.

Meteorologische Zeitschrift, Heft 8 August 1926.

H. Heuze. Zur täglichen Periode der Windgeschwindigkeit in Berlin. J. Tichanowsky. Resultate der Messungen der Himmelspolarisation in verschiedenen Spektrumabschnitten. W.

Schmidt. Wovon hängt die Länge einer Dampffahne ab? W. Milch. Zur Theorie der Glorie. J. Reger. Über das Verhalten der relativen Feuchtigkeit auf dem freien Ozean.

Zeitschrift für Instrumentenkunde Hefte 7—8 April — August. Berlin 1926.

Aerologische Berichte Jahr 1926 NNr. 5/8, 9/10 Lindenberg.

Jahrbücher der Kgl. Ung. Reichsanstalt für Meteorologie und Erdmagnetismus. Band XLVIII Jahrgang 1918 Budapest 1926.

Monatliche Zusammenstellungen. Württ. Landeswetterwarte. Juli, August 1926. Stuttgart.

Instrumente und Apparate für die luftpneumatischen Untersuchungen an dem Meteorologischen Observatorium in As von Nils Russeltvedt. Beiheft zum Jahrbuch des Norwegischen Meteorologischen Instituts für 1925

Deutsches Meteorologisches Jahrbuch 1925. Freie Hansestadt Bremen 1926.

Bollettino Mensile. Ufficio Idrografico del R. Magistrato alle acque Venezia. Febbraio, Marzo 1926.

Rivista Meteorico — Agraria. Anno XLVII 1926 Agosto 3-a decade.

La Meteorologia Pratica. Anno VII Nr. 3 Maggio — Giugno 1926.

Nedböriaktgelser i Norge utgitt av Det Norske Meteorologiske Institut. Argang XXXI 1925 Oslo.

Arsberetning for budgettåret 1 juli 1924 til 30 juni 1925 utgitt av det Norske Met. Inst. Oslo 1926.

Oversikt over luftens temperatur og medbøren i Norge i året 1924 Oslo 1925, i året 1925 Oslo 1926.

Regenwaarnemingen in Nederlandsch — Indie. Jaargang 1924. Batavia 1926.

Justificação das normas de Chuva da Rede Pluviométrica Brasileira. Rio de Janeiro 1926.

Beletim Mensal. Julho 1926 Vol III Nr. 7 Directoria de Meteorologia Rio de Janeiro - Brasil.

Månadsöversikt av väderleken i Finland. Arg 20 Nr. 7 Juni 1926. Helsingfors.

Vedrátan 1926. Månadaryfirlit samid á vedurstofunni Mai Reykjavík.

W. Niebrzydowski.